

**NORME
INTERNATIONALE
INTERNATIONAL
STANDARD**

**CEI
IEC
60329**

Deuxième édition
Second edition
1985-01

**Circuits magnétiques coupés en fer-silicium
orienté, destinés aux équipements électroniques
et de télécommunications**

**Strip-wound cut cores of grain oriented
silicon-iron alloy, used for electronic and
telecommunication equipment**



Numéros des publications

Depuis le 1er janvier 1997, les publications de la CEI sont numérotées à partir de 60000.

Publications consolidées

Les versions consolidées de certaines publications de la CEI incorporant les amendements sont disponibles. Par exemple, les numéros d'édition 1.0, 1.1 et 1.2 indiquent respectivement la publication de base, la publication de base incorporant l'amendement 1, et la publication de base incorporant les amendements 1 et 2.

Validité de la présente publication

Le contenu technique des publications de la CEI est constamment revu par la CEI afin qu'il reflète l'état actuel de la technique.

Des renseignements relatifs à la date de reconfirmation de la publication sont disponibles dans le Catalogue de la CEI.

Les renseignements relatifs à des questions à l'étude et des travaux en cours entrepris par le comité technique qui a établi cette publication, ainsi que la liste des publications établies, se trouvent dans les documents ci-dessous:

- «Site web» de la CEI*
- Catalogue des publications de la CEI
Publié annuellement et mis à jour régulièrement
(Catalogue en ligne)*
- Bulletin de la CEI
Disponible à la fois au «site web» de la CEI* et comme périodique imprimé

Terminologie, symboles graphiques et littéraux

En ce qui concerne la terminologie générale, le lecteur se reportera à la CEI 60050: *Vocabulaire Electrotechnique International* (VEI).

Pour les symboles graphiques, les symboles littéraux et les signes d'usage général approuvés par la CEI, le lecteur consultera la CEI 60027: *Symboles littéraux à utiliser en électrotechnique*, la CEI 60417: *Symboles graphiques utilisables sur le matériel. Index, relevé et compilation des feuilles individuelles*, et la CEI 60617: *Symboles graphiques pour schémas*.

* Voir adresse «site web» sur la page de titre.

Numbering

As from 1 January 1997 all IEC publications are issued with a designation in the 60000 series.

Consolidated publications

Consolidated versions of some IEC publications including amendments are available. For example, edition numbers 1.0, 1.1 and 1.2 refer, respectively, to the base publication, the base publication incorporating amendment 1 and the base publication incorporating amendments 1 and 2.

Validity of this publication

The technical content of IEC publications is kept under constant review by the IEC, thus ensuring that the content reflects current technology.

Information relating to the date of the reconfirmation of the publication is available in the IEC catalogue.

Information on the subjects under consideration and work in progress undertaken by the technical committee which has prepared this publication, as well as the list of publications issued, is to be found at the following IEC sources:

- IEC web site*
- Catalogue of IEC publications
Published yearly with regular updates
(On-line catalogue)*
- IEC Bulletin
Available both at the IEC web site* and as a printed periodical

Terminology, graphical and letter symbols

For general terminology, readers are referred to IEC 60050: *International Electrotechnical Vocabulary* (IEV).

For graphical symbols, and letter symbols and signs approved by the IEC for general use, readers are referred to publications IEC 60027: *Letter symbols to be used in electrical technology*, IEC 60417: *Graphical symbols for use on equipment. Index, survey and compilation of the single sheets* and IEC 60617: *Graphical symbols for diagrams*.

* See web site address on title page.

**NORME
INTERNATIONALE
INTERNATIONAL
STANDARD**

**CEI
IEC
60329**

Deuxième édition
Second edition
1985-01

**Circuits magnétiques coupés en fer-silicium
orienté, destinés aux équipements électroniques
et de télécommunications**

**Strip-wound cut cores of grain oriented
silicon-iron alloy, used for electronic and
telecommunication equipment**

© IEC 1985 Droits de reproduction réservés — Copyright - all rights reserved

Aucune partie de cette publication ne peut être reproduite ni utilisée sous quelque forme que ce soit et par aucun procédé, électronique ou mécanique, y compris la photocopie et les microfilms, sans l'accord écrit de l'éditeur.

No part of this publication may be reproduced or utilized in any form or by any means, electronic or mechanical, including photocopying and microfilm, without permission in writing from the publisher.

International Electrotechnical Commission
Telefax: +41 22 919 0300

3, rue de Varembé Geneva, Switzerland
e-mail: inmail@iec.ch
IEC web site <http://www.iec.ch>



Commission Electrotechnique Internationale
International Electrotechnical Commission
Международная Электротехническая Комиссия

CODE PRIX
PRICE CODE

V

*Pour prix, voir catalogue en vigueur
For price, see current catalogue*

SOMMAIRE

	Pages
PRÉAMBULE	4
PREFACE	4
Articles	
SECTION UN – GÉNÉRALITÉS	
1. Domaine d'application	6
2. Objet	6
3. Termes et définitions	6
4. Construction	8
5. Emballage	12
6. Gammes de températures de fonctionnement	12
SECTION DEUX – CARACTÉRISTIQUES ÉLECTRIQUES	
7. Valeurs de base	12
8. Réalisation des circuits normalisés	16
SECTION TROIS – ESSAIS	
9. Généralités concernant les essais	18
10. Examen visuel	20
11. Dimensions	20
12. Essais climatiques et mécaniques	22
12.1 Froid	22
12.2 Huile chaude	22
12.3 Variation de température	24
12.4 Résistance au cerclage	24
12.5 Vérification finale	26
13. Essais électriques	26
13.1 Circuits monophasés	26
13.2 Circuits triphasés	28
SECTION QUATRE – CARACTÉRISTIQUES DES MODÈLES RECOMMANDÉS	
14. Listes des dimensions	30
15. Propriétés électriques	30
FIGURES	32
TABLEAUX:	
I: Epaisseur nominale associée avec la fréquence	10
II: Gammes de températures	12
III: Caractéristiques électriques spécifiques pour les circuits monophasés	14
IV: Caractéristiques électriques spécifiques pour les circuits triphasés	16
V: Coefficient de foisonnement	18
VI: Listes des dimensions des circuits monophasés	37
VII: Listes des dimensions des circuits triphasés	42
VIII: Masses, longueurs de la ligne de force, sections effectives et surfaces de fenêtre des circuits monophasés	45
IX: Masses, sections effectives et surfaces de fenêtre des circuits triphasés	50
X: Pertes maximales admissibles et puissances d'excitation des circuits monophasés	52
XI: Pertes maximales admissibles et puissances d'excitation des circuits triphasés	56
ANNEXE A – Liste des essais pour les circuits magnétiques coupés	58
ANNEXE B – Listes comparatives des références de type utilisées dans différents pays	59
ANNEXE C – Système général de tolérances dimensionnelles	64

CONTENTS

Clause	SECTION ONE - GENERAL	Page
FOREWORD		5
PREFACE		5
1. Scope	7	
2. Object	7	
3. Terms and definitions	7	
4. Construction	9	
5. Packaging	13	
6. Operating temperature ranges	13	
SECTION TWO - ELECTRICAL PERFORMANCE		
7. Basic values	13	
8. Details of standard sizes	17	
SECTION THREE - TESTS		
9. General considerations	19	
10. Visual examination	21	
11. Dimensions	21	
12. Environmental tests	23	
12.1 Cold	23	
12.2 Hot oil	23	
12.3 Temperature cycling	25	
12.4 Rigidity	25	
12.5 Final verification	27	
13. Electrical tests	27	
13.1 C-core loops	27	
13.2 E-core loops	29	
SECTION FOUR - DATA FOR PREFERRED CORE SIZES		
14. Dimensional lists	31	
15. Electrical properties	31	
FIGURES	32	
TABLES : I : Nominal thickness associated with frequency	11	
II : Temperature ranges	13	
III : Specific electrical characteristics of C-core loops	15	
IV : Specific electrical characteristics of E-core loops	17	
V : Space factor	19	
VI : Dimensional lists of C-core loops	37	
VII : Dimensional lists of E-core loops	42	
VIII : Mass, flux path lengths, effective cross-sectional areas, and window areas of C-core loops	45	
IX : Mass, cross-sectional areas and window areas of E-core loops	50	
X : Maximum admissible power losses and apparent power of C-core loops	52	
XI : Maximum admissible power losses and apparent power of E-core loops	56	
APPENDIX A - List of tests for strip-wound cut cores	58	
APPENDIX B - Comparative lists of the reference numbers utilized in different countries	59	
APPENDIX C - Standard system of dimensional tolerances	65	

COMMISSION ÉLECTROTECHNIQUE INTERNATIONALE

**CIRCUITS MAGNÉTIQUES COUPÉS EN FER-SILICIUM ORIENTÉ,
DESTINÉS AUX ÉQUIPEMENTS ÉLECTRONIQUES
ET DE TÉLÉCOMMUNICATIONS**

PRÉAMBULE

- 1) Les décisions ou accords officiels de la CEI en ce qui concerne les questions techniques, préparés par des Comités d'Etudes où sont représentés tous les Comités nationaux s'intéressant à ces questions, expriment dans la plus grande mesure possible un accord international sur les sujets examinés.
- 2) Ces décisions constituent des recommandations internationales et sont agréées comme telles par les Comités nationaux.
- 3) Dans le but d'encourager l'unification internationale, la CEI exprime le vœu que tous les Comités nationaux adoptent dans leurs règles nationales le texte de la recommandation de la CEI, dans la mesure où les conditions nationales le permettent. Toute divergence entre la recommandation de la CEI et la règle nationale correspondante doit, dans la mesure du possible, être indiquée en termes clairs dans cette dernière.

PRÉFACE

La présente norme a été établie par le Comité d'Etudes n° 51 de la CEI: Composants magnétiques et ferrites.

Le texte de cette norme est repris de l'édition précédente et comporte des modifications issues des documents suivants:

Règle des Six Mois	Rapport de vote
51(BC) 248	51(BC) 252

Pour de plus amples renseignements, consulter le rapport de vote mentionné dans le tableau ci-dessus.

Les publications suivantes de la CEI sont citées dans la présente norme:

- Publications n°s 68: Essais fondamentaux climatiques et de robustesse mécanique.
 68-1 (1982): Première partie: Généralités et guide.
 68-2-1 (1974): Essais A: Froid.
 68-2-14 (1984): Essai N: Variations de température.

INTERNATIONAL ELECTROTECHNICAL COMMISSION

**STRIP-WOUND CUT CORES OF GRAIN ORIENTED SILICON-IRON ALLOY,
USED FOR ELECTRONIC AND TELECOMMUNICATION EQUIPMENT**

FOREWORD

- 1) The formal decisions or agreements of the IEC on technical matters, prepared by Technical Committees on which all the National Committees having a special interest therein are represented, express, as nearly as possible, an international consensus of opinion on the subjects dealt with.
- 2) They have the form of recommendations for international use and they are accepted by the National Committees in that sense.
- 3) In order to promote international unification, the IEC expresses the wish that all National Committees should adopt the text of the IEC recommendation for their national rules in so far as national conditions will permit. Any divergence between the IEC recommendation and the corresponding national rules should, as far as possible, be clearly indicated in the latter.

PREFACE

This standard has been prepared by IEC Technical Committee No. 51: Magnetic Components and Ferrite Materials.

The text of this standard is derived from the previous edition and includes amendments based upon the following documents:

Six Months' Rule	Report on Voting
51(CO) 248	51(CO) 252

Further information can be found in the Report on Voting indicated in the table above.

The following IEC publications are quoted in this standard:

Publications Nos.	68: Basic Environmental Testing Procedures.
	68-1 (1982): Part 1: General and Guidance.
	68-2-1 (1974): Tests A: Cold.
	68-2-14 (1984): Test N: Change of Temperature.

CIRCUITS MAGNÉTIQUES COUPÉS EN FER-SILICIUM ORIENTÉ, DESTINÉS AUX ÉQUIPEMENTS ÉLECTRONIQUES ET DE TÉLÉCOMMUNICATIONS

SECTION UN – GÉNÉRALITÉS

1. Domaine d'application

Cette norme est applicable aux circuits magnétiques coupés de construction monophasée ou triphasée dont la section de métal et la fenêtre ont une forme rectangulaire. Ils se composent de bandes de fer-silicium orienté laminées à froid et sont destinés à la construction de transformateurs et d'inductances pour des appareils de télécommunication et des matériels électroniques.

Cette norme est applicable également aux circuits de sections ou de fenêtres différentes. Dans ce cas, des caractéristiques particulières, par exemple les propriétés électriques et les tolérances dimensionnelles, feront l'objet d'un accord spécial entre le client et le fournisseur.

2. Objet

Etablir des règles uniformes pour:

- a) fixer les gammes de températures de fonctionnement;
- b) préciser les propriétés mécaniques et électriques;
- c) fixer les conditions de marquage et d'emballage;
- d) décrire les méthodes d'essai.

Cette norme comprend aussi des listes de types recommandés.

3. Termes et définitions

3.1 *Termes généraux*

Pour les définitions des termes généraux utilisés dans la présente norme, le lecteur est invité à se reporter à la Publication 50(05) de la CEI: Vocabulaire Electrotechnique International, groupe 05: Définitions fondamentales. Les définitions ci-après sont applicables pour la présente norme.

3.2 *Circuit magnétique coupé*

Circuit réalisé à partir d'une bande continue de matériau spécifié enroulée sur un mandrin. Après être recuit et imprégné d'une masse de produit de collage approprié, pour assurer l'adhérence nécessaire entre les spires, le circuit est coupé en deux parties.

Note. – Pour obtenir la longueur nécessaire de la bande, la soudure de deux longueurs plus courtes est tolérée.

3.3 *Circuit monophasé (C-core)*

Circuit magnétique coupé à utilisation monophasée.

Note. – Un circuit monophasé se compose de deux éléments en C.

STRIP-WOUND CUT CORES OF GRAIN ORIENTED SILICON-IRON ALLOY, USED FOR ELECTRONIC AND TELECOMMUNICATION EQUIPMENT

SECTION ONE – GENERAL

1. Scope

This standard is limited to strip-wound cut cores, in both single-phase and three-phase forms of construction, having rectangular cross-sections and rectangular windows (coil spaces), manufactured from cold-reduced grain-oriented silicon-iron alloy strip, and for use in transformers and inductors for telecommunication equipment and for electronic devices.

This standard may be generally applied to cores of other than rectangular window or cross-section. In this case, certain characteristics, e.g. electrical properties and dimensional tolerances shall be the subject of special agreement between user and manufacturer.

2. Object

To establish a uniform code of practice for:

- a) the operating temperature range;
- b) the mechanical and electrical properties;
- c) the marking and packaging;
- d) the measuring methods.

This standard also includes ranges of preferred sizes of cores.

3. Terms and definitions

3.1 General terms

For the definitions of the general terms used in this standard, reference should be made to IEC Publication 50(05): International Electrotechnical Vocabulary, Group 05: Fundamental Definitions. For the purpose of this standard, the following definitions shall apply.

3.2 Strip-wound cut core

Core manufactured from a continuous strip of the specified material wound on a mandrel to form a core loop. After stress-relief annealing and then impregnating with a suitable bonding agent to ensure adequate inter-lamination adhesion, this core loop is cut into two parts.

Note. – To obtain the required total length of strip, it is permissible to weld two shorter lengths together.

3.3 C-core loop (C-core)

Single-phase strip-wound cut core.

Note. – The term C-core is in common and international use. To avoid confusion it must be emphasized that one C-core consists of two C-shaped parts. A preferable term is C-core loop.

3.4 Circuit triphasé (E-core)

Circuit à utilisation triphasée se composant de deux circuits monophasés, placés l'un à côté de l'autre et entourés d'un enroulement commun de mêmes largeur et épaisseur. Cet assemblage a donc trois branches égales et deux fenêtres égales.

Note. – Un circuit triphasé se compose de deux éléments en E.

3.5 Entrefer nominal

Longueur axiale magnétique équivalente de l'ensemble des entrefers; cette valeur est importante pour le calcul de la puissance d'excitation absorbée dans l'entrefer.

Notes 1. – La longueur de l'entrefer n'est pas soumise à un contrôle dimensionnel.

2. – Dans la pratique, on utilise le terme «entrefer» au singulier bien que les circuits monophasés en possèdent deux et les circuits triphasés trois.
3. – Dans la pratique, on néglige le flux de fuite de l'entrefer nominal.

3.6 Pertes spécifiques

Puissance active par unité de masse, en W/kg, dissipée par un circuit magnétique coupé, quand l'induction produite par un champ alternatif est sinusoïdale. Le symbole adopté est P_{Ls} .

3.7 Puissance réactive spécifique totale

Puissance réactive totale par unité de masse, en var/kg, mise en jeu par un circuit magnétique coupé, quand l'induction produite par un champ alternatif est sinusoïdale. Elle est la somme arithmétique de la puissance réactive spécifique due au matériau (Q_{Fs}) et de celle à l'entrefer (Q_{Gs}). Le symbole adopté est Q_s , donc:

$$Q_s = Q_{Fs} + Q_{Gs}$$

3.8 Puissance d'excitation spécifique totale

Puissance apparente totale par unité de masse, en VA/kg, mise en jeu par un circuit magnétique coupé, quand l'induction produite par un champ alternatif est sinusoïdale. Elle est égale au produit de la tension efficace par le courant efficace, divisé par la masse du circuit. Elle est aussi égale à l'addition vectorielle des pertes spécifiques P_{Ls} et de la puissance réactive spécifique totale Q_s . Le symbole adopté est S_s , donc:

$$S_s = \sqrt{P_{Ls}^2 + Q_s^2}$$

3.9 Coefficient de foisonnement

Rapport de la section réelle du matériau à la section calculée, celle-ci étant le produit de la largeur de bande par l'épaisseur d'enroulement. Le symbole adopté est α .

4. Construction

4.1 Matériau

Alliage en fer-silicium orienté, sous forme de bandes laminées à froid, dont une ou les deux faces sont isolées. Les épaisseurs de bande disponible et les fréquences qui leur sont généralement associées sont indiquées dans le tableau I.

3.4 E-core loop (E-core)

A three-phase type of strip-wound cut core consisting of two single-phase loops placed side by side and a third loop, having the same build-up and strip width as these, being wound around them. The resulting assembly has, therefore, three limbs of equal cross-section and two equal windows or coil spaces.

Note. – The term E-core is in common and international use. To avoid confusion it must be emphasized that one E-core consists of two E-shaped parts. A preferable term is E-core loop.

3.5 Nominal gap length

A value for the summated axial magnetic lengths of the gaps, given in order that the apparent power expended in those gaps may be calculated.

Notes 1. – The gap length is not subjected to dimensional check.

2. – It is common practice to use the term “gap” in the singular although the single-phase cut core loop possesses two actual gaps and the three-phase cut core loop possesses three actual gaps.
3. – In practice, the leakage flux with the nominal gap is neglected.

3.6 Specific power loss

The loss per unit mass of the core in W/kg (W/lb), occurring when the flux density produced by an alternating field is sinusoidal. The symbol adopted is P_{Ls} .

3.7 Specific total reactive power

The total reactive power per unit mass of the core in var/kg (var/lb), occurring when the flux density produced by an alternating field is sinusoidal. It is the arithmetic sum of the specific reactive power for the iron path (Q_{Fs}) and the specific reactive power for the gap (Q_{Gs}). The symbol adopted is Q_s , thus:

$$Q_s = Q_{Fs} + Q_{Gs}$$

3.8 Specific total apparent power

The total apparent power loss per unit mass of the core in VA/kg (VA/lb), occurring when the flux density produced by an alternating field is sinusoidal. It is the product of the r.m.s. voltage and the r.m.s. current, divided by the core mass. It is also the vector addition of the specific power loss P_{Ls} and the specific total reactive power Q_s . The symbol adopted is S_s , thus:

$$S_s = \sqrt{P_{Ls}^2 + Q_s^2}$$

3.9 Space factor

The ratio of the effective iron cross-sectional area of the core to its geometrical area, this latter being the product of the build-up and the strip width. The symbol adopted is α .

4. Construction

4.1 Material

A cold-reduced grain-oriented silicon-iron alloy in continuous strip form, insulated on one or both sides. Table I gives the material thicknesses available and the frequencies commonly associated with these.

TABLEAU I

Epaisseur nominale de la bande (mm)	Fréquence (Hz)
0,28 ... 0,35	50 et 60
0,10	400
0,05 0,025	Au-dessus de 2 000 et techniques d'impulsions

4.2 Entrefer

Le circuit magnétique est coupé de manière que le plan de coupure soit perpendiculaire au grand axe du circuit (dimension *B*, tableaux VI et VII, pages 37 et 42).

- Notes*. – Dans les petits circuits, l'entrefer est situé normalement au milieu des branches longues (jambes). Dans les plus grands circuits, l'entrefer peut être situé à un autre endroit sur ces jambes.
2. – La planéité requise des faces de l'entrefer est vérifiée essentiellement par les caractéristiques électriques.

4.3 Aspect

A l'état de livraison, les circuits ne doivent pas présenter de traces d'oxydation (rouille) ni de poussière magnétique. La surface extérieure doit présenter un minimum de produit d'imprégnation, mais toutes les bandes doivent être fortement collées et les circuits ne doivent pas avoir de bandes décollées ni de fissure.

Note. – Si la face rectifiée présente des fissures très fines, elle sera considérée comme étant irréprochable pourvu que les bandes ne se décollent pas.

4.4 Dimensions

4.4.1 Spécifications

Les dimensions et leurs tolérances sont spécifiées dans la section quatre de cette publication.

Note. – Lorsque dans ces tableaux les dimensions sont données en millimètres et en inches, la conversion n'a pas été faite par l'application des règles de conversion recommandées. Les dimensions dans les unités non originales ont été ajoutées pour information et n'entraînent pas nécessairement l'existence de ces types.

4.4.2 Système général de tolérances

Voir annexe C.

4.5 Marquage

Chaque circuit doit comporter un marquage assurant son identification ainsi que l'assemblage correct des deux demi-circuits lors de leur utilisation.

Si les circuits sont trop petits pour qu'on puisse leur appliquer un marquage lisible, les indications portées sur l'emballage comme indiqué à l'article 5 seront considérées comme suffisantes. Les deux demi-circuits doivent cependant recevoir un repère pour permettre un assemblage correct.

TABLE I

Nominal strip thickness (mm)	(in)	Frequency (Hz)
0.28 ... 0.35	0.011 ... 0.014	50 and 60
0.10	0.004	400
0.05 0.025	0.002 0.001	Above 2 000 and pulse applications

4.2 Gap

A core loop is cut along a plane perpendicular to the major axis (dimension *B*, see Tables VI and VII, pages 37 and 42) and to the direction of the strip winding.

Notes 1. – In smaller cores, this cutting plane is centrally placed in relation to the larger window dimension. In larger cores, it may be displaced from this central location with respect to the larger window dimension.

2. – The required flatness of the gap faces is mainly determined by the electrical performance.

4.3 General appearance and condition

Cores shall be supplied in a generally clean condition, free from rust and from magnetic dust. There shall be a minimum amount of bonding agent on core external surfaces but the individual laminations shall be firmly bonded together and the cores shall be free from splits.

Note. – A gap surface may exhibit “hair-line” cracks but provided no delamination occurs it shall be considered free from splits.

4.4 Dimensions

4.4.1 Dimensional specifications

The dimensions and their tolerances are specified in Section Four of this publication.

Note. – Where in these tables both millimetre and inch dimensions are given, the conversion has not been made by applying recommended conversion rules. The dimensions in the non-original units have been added for information and need not be related to existing types.

4.4.2 Standard tolerancing system

See Appendix C.

4.5 Marking

Each core loop shall be marked to ensure easy identification and to enable users to correctly assemble the two halves together.

If the core loops are too small for legible marking to be made on the cores themselves, the package marking given in Clause 5 shall be deemed sufficient. The core halves shall then bear a marking indicating correct assembly.

L'identification doit comporter:

- a) le nom du fabricant, sa marque déposée ou un autre symbole;
- b) la lettre indiquant l'épaisseur de bande; ou
- c) la référence de type si requise par l'acheteur.

Notes 1. — La première colonne des tableaux VI à XI, pages 37 à 57, contient les références des types de circuits. Pour avoir la référence complète d'un circuit, il faut ajouter à la fin du numéro une lettre indiquant l'épaisseur nominale de bande:

- W pour les bandes de 0,28 mm et 0,35 mm
- X pour les bandes de 0,10 mm
- Y pour les bandes de 0,05 mm
- Z pour les bandes de 0,025 mm.

Exemple:

Un circuit de la série Q ayant les dimensions extérieures $A_{\max} \times B_{\max} = 49,6 \text{ mm} \times 92,1 \text{ mm}$, réalisé avec une bande de largeur $D_{\min} = 38,1 \text{ mm}$ et d'épaisseur 0,28 mm, aura la référence Q 8.3 W. La même méthode est utilisée pour les circuits triphasés.

2. — Une méthode possible pour assurer l'assemblage correct consiste à marquer un numéro de série sur chacun des deux demi-circuits, de façon que les numéros se trouvent l'un à côté de l'autre si le circuit est assemblé correctement. Cette méthode est recommandée aussi en vue d'empêcher l'assemblage de deux éléments provenant de circuits différents.

5. Emballage

Chaque circuit doit être emballé de façon à assurer une protection appropriée des faces rectifiées contre l'endommagement mécanique. Ces faces seront protégées contre la rouille par une graisse ou une autre méthode adéquate. Le récipient (caisse, fût) sera muni d'une étiquette comportant les indications suivantes:

- a) le nom du fabricant; la marque déposée seule ou un autre symbole ne sont pas admis;
- b) la référence du circuit (voir paragraphe 4.5);
- c) la gamme de températures de service;
- d) le nombre de circuits contenus.

Note. — Dans un récipient ne seront placés que des circuits ayant la même référence.

6. Gammes de températures de fonctionnement

Les circuits conformes à la présente norme seront prévus pour une utilisation en régime permanent aux températures indiquées dans le tableau II. Ces températures constituent aussi les limites pour le stockage des noyaux. D'autres gammes de températures peuvent faire l'objet d'un accord entre le client et le fabricant.

TABLEAU II

Code	Gamme de températures
40/125 55/155	-40 °C à +125 °C -55 °C à +155 °C

SECTION DEUX - CARACTÉRISTIQUES ÉLECTRIQUES

7. Valeurs de base

7.1 Remarque générale

Les caractéristiques électriques d'un circuit magnétique coupé doivent être données par les valeurs maximales admissibles des pertes et de la puissance d'excitation, pour une certaine fréquence et une certaine induction.

The identification marks shall be:

- a) the manufacturer's name, trade mark or other symbol;
- b) the strip thickness code letter; or
- c) the type reference number when requested by the purchaser.

Notes 1. – In the first column of Tables VI to XI, pages 37 to 57, the type reference numbers of the cores are given. To complete the core reference number it is necessary to add a code letter for the nominal strip thickness, viz.:

- W for 0.28 mm and 0.35 mm strips
- X for 0.10 mm strips
- Y for 0.05 mm strips
- Z for 0.025 mm strips.

Example:

A core of the Series Q with the overall dimensions $A_{\max} \times B_{\max} = 49.6 \text{ mm} \times 92.1 \text{ mm}$, wound from a strip with width $D_{\min} = 38.1 \text{ mm}$ and thickness 0.28 mm, will bear the reference number Q 8.3 W. This same method is used for three-phase cores.

- 2. – One suggested method of ensuring correct assembly of the two core halves is the marking of a serial number on each of the two halves in such a position that the two serial numbers are side by side when the core is assembled correctly. This method is also recommended because it prevents assembling of two unrelated core halves.

5. Packaging

Each loop shall be so packed that adequate protection is given to the gap faces to prevent mechanical damage. The gap faces shall also be protected from rusting by the application of a suitable grease or by some alternative method. The container used shall have a suitable label giving:

- a) the manufacturer's name; the trade mark or other symbol alone is not acceptable;
- b) the core reference number (see Sub-clause 4.5);
- c) the operating temperature range;
- d) the number of core loops it contains.

Note. – Collective packaging may be employed only for cores of the same core reference number.

6. Operating temperature ranges

Cores to this standard shall be suitable for continuous use over one of the temperature ranges according to Table II. This temperature range shall also apply to the storage of these cores. Alternative temperature ranges may be agreed between user and manufacturer.

TABLE II

Code	Temperature range
40/125	– 40 °C to +125 °C
55/155	– 55 °C to +155 °C

SECTION TWO – ELECTRICAL PERFORMANCE

7. Basic values

7.1 General

The electrical performance of a strip-wound cut core shall be indicated by the maximum permissible power loss and apparent power loss at a specified frequency and flux density.

Ces pertes admissibles seront calculées à partir des valeurs spécifiques données dans le tableau III pour les circuits monophasés et dans le tableau IV, page 16, pour les circuits triphasés.

Il faut remarquer que les valeurs spécifiques de la puissance réactive due au matériau et à l'entrefer (Q_{Fs} et Q_{Gs}) sont données uniquement pour pouvoir calculer la puissance réactive totale pour chaque type de circuit. Ce calcul est nécessaire pour déterminer la puissance apparente totale S .

7.2 Caractéristiques électriques spécifiques pour les circuits monophasés

TABLEAU IIIA
(Système métrique)

Epaisseur nominale de bande	Fréquence f	Induction de crête nominale \hat{B}	Pertes spécifiques totales P_{Ls}	Puissance réactive spécifique due au matériau Q_{Fs}	Puissance réactive spécifique due à l'entrefer Q_{Gs} 1)
mm	Hz	T	W/kg	var/kg	var/kg
0,28 ... 0,35	50	1,7	2,2	13	$\frac{141,5}{l_{Fl}}$ 2)
0,28 ... 0,35	60	1,5	2,0	3,7	$\frac{132}{l_{Fl}}$ 2)
0,10	400	1,5	22,0	25	$\frac{881}{l_{Fl}}$ 2)
0,05 0,025			Ces valeurs feront l'objet d'un accord entre le client et le fabricant		

TABLEAU IIIB
(Système inch-pound)

in	Hz	T	W/lb	var/lb	var/lb
0,011 ... 0,014	50	1,7	1,0	5,895	$\frac{25,26}{l_{Fl}}$ 3)
0,011 ... 0,014	60	1,5	0,9	1,70	$\frac{23,5}{l_{Fl}}$ 3)
0,004	400	1,5	10	11,34	$\frac{157,3}{l_{Fl}}$ 3)
0,002 0,001			Ces valeurs feront l'objet d'un accord entre le client et le fabricant		

1) Ces valeurs correspondent à un entrefer nominal de 30 μm (0,0012 in). D'autres valeurs pour Q_{Gs} peuvent faire l'objet d'un accord entre le client et le fabricant. Q_{Gs} est proportionnel à la fréquence, au carré de l'induction et à la longueur de l'entrefer.

2) Dans le tableau IIIA, la longueur de la ligne de force moyenne (l_{Fl}) est donnée en centimètres et calculée comme indiqué à l'article 8. Les valeurs de Q_{Gs} ont été calculées en supposant que l'induction dans l'entrefer est la même que dans le fer.

3) l_{Fl} en inches.

These permissible losses shall be calculated from the specific values given in Table III for C-cores and in Table IV, page 17, for E-cores.

It must be emphasized that the specific values of the reactive power for the iron and for the air gap, Q_{Fs} and Q_{Gs} respectively, are given solely for the purpose of calculating the total reactive power for any size of core, such calculation being necessary for the determination of total apparent power S .

7.2 Specific electrical characteristics of C-core loops

TABLE IIIA
(Metric system)

Nominal strip thickness	Frequency f	Nominal peak flux density \hat{B}	Specific power loss P_{Ls}	Specific reactive power for the iron Q_{Fs}	Specific reactive power for the air gap Q_{Gs} 1)
mm	Hz	T	W/kg	var/kg	var/kg
0.28 ... 0.35	50	1.7	2.2	13	$\frac{141.5}{l_{Fl}}$ 2)
0.28 ... 0.35	60	1.5	2.0	3.7	$\frac{132}{l_{Fl}}$ 2)
0.10	400	1.5	22.0	25	$\frac{881}{l_{Fl}}$ 2)
0.05 0.025				Performance levels to be agreed between user and manufacturer	

TABLE IIIB
(Inch-pound system)

in	Hz	T	W/lb	var/lb	var/lb
0.011 ... 0.014	50	1.7	1.0	5.895	$\frac{25.26}{l_{Fl}}$ 3)
0.011 ... 0.014	60	1.5	0.9	1.70	$\frac{23.5}{l_{Fl}}$ 3)
0.004	400	1.5	10	11.34	$\frac{157.3}{l_{Fl}}$ 3)
0.002 0.001				Performance levels to be agreed between user and manufacturer	

1) These values are based on a nominal gap length of 30 μm (0.0012 in). Other values for Q_{Gs} are to be subject to special agreement between user and manufacturer. Q_{Gs} is proportional to frequency, to flux density squared and to gap length.

2) In Table IIIA, the mean flux path length concerned (l_{Fl}) is in centimetres and is calculated as shown in Clause 8. The values for Q_{Gs} have been calculated on the assumption that the flux density in the air gap is the same as in the iron.

3) l_{Fl} in inches.

7.3 Caractéristiques électriques spécifiques pour les circuits triphasés

TABLEAU IVA
(Système métrique)

Epaisseur nominale de bande	Fréquence f	Induction de crête nominale \hat{B}	Pertes spécifiques totales P_{Ls}	Puissance réactive spécifique due au matériau Q_{Fs}	Puissance réactive spécifique due à l'entrefer Q_{Gs}
mm	Hz	T	W/kg	var/kg	var/kg
0,28 ... 0,35	50	1,5	2,1	5,3	$\frac{1,27 A_{Fe}}{m_{Fe}}$ 2)
0,28 ... 0,35	60	1,5	2,4	5,4	$\frac{1,52 A_{Fe}}{m_{Fe}}$ 2)
0,10	400	1,3	20	25,0	$\frac{7,6 A_{Fe}}{m_{Fe}}$ 2)

TABLEAU IVB
(Système inch-pound)

in	Hz	T	W/lb	var/lb	var/lb
0,011 ... 0,014	50	1,5	0,953	2,4	$\frac{8,2 A_{Fe}}{m_{Fe}}$ 3)
0,011 ... 0,014	60	1,5	1,1	2,47	$\frac{9,8 A_{Fe}}{m_{Fe}}$ 3)
0,004	400	1,3	9,07	11,34	$\frac{49,0 A_{Fe}}{m_{Fe}}$ 3)

1) Ces valeurs correspondent à un entrefer nominal de 45 μm . D'autres valeurs pour Q_{Gs} peuvent faire l'objet d'un accord entre le client et le fabricant.

2) Dans le tableau IVA, la section réelle A_{Fe} est donnée en centimètres carrés et la masse m_{Fe} en kilogrammes. Les valeurs correspondantes sont indiquées au tableau IX, pages 50 et 51.

3) A_{Fe} en inches carrés; m_{Fe} en livres.

8. Réalisation des circuits normalisés

8.1 Circuits monophasés

Les valeurs maximales admissibles des pertes et de la puissance d'excitation sont données dans la section quatre, tableau X, page 52. La masse m_{Fe} , la section réelle minimale A_{Fe} et la longueur de la ligne de force moyenne l_{F1} sont données dans la section quatre, tableau VIII, page 45; elles ont été calculées d'après les formules suivantes:

$$m_{Fe} = A_{Fe} \cdot l_{F1} \cdot \rho$$

A_{Fe} , exprimée en centimètres carrés, est déterminée par les dimensions minimales D_{min} et E_{min} , selon le tableau VI, page 37, et le coefficient de foisonnement α , dont les valeurs pour les différentes épaisseurs de bande sont données dans le tableau V:

$$A_{Fe} = D_{min} \cdot E_{min} \cdot \alpha$$

7.3 Specific electrical characteristics of E-core loops

TABLE IVA
(Metric system)

Nominal strip thickness	Frequency <i>f</i>	Nominal peak flux density \hat{B}	Specific power loss P_{Ls}	Specific reactive power for the iron Q_{Fs}	air gap Q_{Gs} 1)
mm	Hz	T	W/kg	var/kg	var/kg
0.28 ... 0.35	50	1.5	2.1	5.3	$\frac{1.27 A_{Fe}}{m_{Fe}}$ 2)
0.28 ... 0.35	60	1.5	2.4	5.4	$\frac{1.52 A_{Fe}}{m_{Fe}}$ 2)
0.10	400	1.3	20	25.0	$\frac{7.6 A_{Fe}}{m_{Fe}}$ 2)

TABLE IVB
(Inch-pound system)

in	Hz	T	W/lb	var/lb	var/lb
0.011 ... 0.014	50	1.5	0.953	2.4	$\frac{8.2 A_{Fe}}{m_{Fe}}$ 3)
0.011 ... 0.014	60	1.5	1.1	2.47	$\frac{9.8 A_{Fe}}{m_{Fe}}$ 3)
0.004	400	1.3	9.07	11.34	$\frac{49.0 A_{Fe}}{m_{Fe}}$ 3)

1) These values are based on a nominal gap length of 45 µm (0.0018 in). Other values for Q_{Gs} are to be subject to special agreement between user and manufacturer.

2) In Table IVA, the effective cross-sectional area A_{Fe} is in square centimetres and the mass m_{Fe} is in kilogrammes. The relevant values are given in Table IX, pages 50 and 51.

3) A_{Fe} in square inches; m_{Fe} in pounds.

8. Details of standard sizes

8.1 C-core loops.

The maximum permissible values of power loss and total apparent power are given in Section Four, Table X, page 52. The mass m_{Fe} , the effective minimum cross-sectional area A_{Fe} and the mean flux path length l_{Fl} are given in Section Four, Table VIII, page 45, and have been calculated using the following formulae:

$$m_{Fe} = A_{Fe} \cdot l_{Fl} \cdot \rho$$

A_{Fe} , expressed in square centimetres or square inches respectively, is calculated from the minimum dimensions D_{min} and E_{min} , according to Table VI, page 37, and the space factor α , the values of which are given in Table V:

$$A_{Fe} = D_{min} \cdot E_{min} \cdot \alpha$$

TABLEAU V
Coefficient de foisonnement

Epaisseur nominale de la bande (mm)	α
0,28 ... 0,35	0,95
0,10	0,92
0,05 0,025	0,88 0,82

l_{FI} , exprimée en centimètres, est la longueur de la ligne de force moyenne, déterminée par les dimensions données dans le tableau VI, page 37:

$$l_{FI} = A_{\max} + B_{\max} + F_{\min} + G_{\min} - 1,72 \left(R + \frac{E_{\max}}{2} \right)$$

$\rho = 7,65 \text{ g/cm}^3$ pour le fer-silicium laminé à froid

8.2 Circuits triphasés

Ces valeurs maximales admissibles des pertes et de la puissance d'excitation sont données dans la section quatre, tableau XI, page 56.

La masse m_{Fe} et la section réelle minimale A_{Fe} sont données dans la section quatre, tableau IX, page 50; elles ont été calculées d'après les formules suivantes:

$$m_{Fe} = \rho \cdot A_{Fe} [A_{\max} + B_{\max} + 2F_{\min} + 2G_{\min} - 0,074 E_{\max} - 2,58 R]$$

A_{Fe} , exprimée en centimètres carrés, est déterminée par les dimensions minimales D_{\min} et E_{\min} , selon le tableau VII, page 42, et le coefficient de foisonnement α , selon le tableau V (voir le paragraphe 8.1):

$$A_{Fe} = D_{\min} \cdot E_{\min} \cdot \alpha$$

Les autres dimensions, exprimées en centimètres, contenues dans la formule sont données également dans le tableau VII:

$\rho = 7,65 \text{ g/cm}^3$ pour le fer-silicium laminé à froid

Note. – La construction particulière des circuits triphasés ne permet pas de donner la longueur de la ligne de force moyenne, comme pour les circuits monophasés.

SECTION TROIS – ESSAIS

9. Généralités concernant les essais

9.1 Essai de type et essais de réception

9.1.1 Type

Un type comprend des produits de conception identique, fabriqués selon les mêmes techniques, et dont les caractéristiques sont comprises dans la gamme usuelle du fabricant.

Notes 1. – Les caractéristiques comprennent une combinaison de:

- a) propriétés électriques;
- b) dimensions;
- c) conditions climatiques ou mécaniques.

2. – Les limites de la gamme de caractéristiques feront l'objet d'un accord entre client et fabricant.

TABLE V
Space factor

Nominal strip thickness		α
(mm)	in	
0.28 ... 0.35	0.011 ... 0.014	0.95
0.10	0.004	0.92
0.05 0.025	0.002 0.001	0.88 0.82

l_{Fl} , expressed in centimetres or inches respectively, is the mean flux path length, calculated from the dimensions given in Table VI, page 37:

$$l_{\text{Fl}} = A_{\max} + B_{\max} + F_{\min} + G_{\min} - 1.72 \left(R + \frac{E_{\max}}{2} \right)$$

$\rho = 7.65 \text{ g/cm}^3$ (0.277 lb/in³) for cold-reduced silicon-iron alloy

8.2 E-core loops

The maximum permissible values of power loss and total apparent power are given in Section Four, Table XI, page 56.

The mass m_{Fe} and effective minimum cross-sectional area A_{Fe} are given in Section Four, Table IX, page 50, and have been calculated using the following formulae:

$$m_{\text{Fe}} = \rho \cdot A_{\text{Fe}} [A_{\max} + B_{\max} + 2F_{\min} + 2G_{\min} - 0.074 E_{\max} - 2.58 R]$$

A_{Fe} , expressed in square centimetres or square inches respectively, is calculated from the minimum dimensions D_{\min} and E_{\min} , according to Table VII, page 42, and the space factor α , according to Table V (see Sub-clause 8.1):

$$A_{\text{Fe}} = D_{\min} \cdot E_{\min} \cdot \alpha$$

The other dimensions, expressed in centimetres or inches respectively, used in the formula are also given in Table VII:

$\rho = 7.65 \text{ g/cm}^3$ (0.277 lb/in³) for cold-reduced silicon-iron alloy

Note. – For E-core loops, due to their construction and method of operation, it is not possible to give a mean flux path length as for C-core loops.

SECTION THREE – TESTS

9. General considerations

9.1 Type test and acceptance tests

9.1.1 Type

A type comprises products having similar design features, manufactured by the same techniques and falling within the manufacturer's usual range of ratings for these products.

Notes 1. – Ratings cover the combination of:

- a) electrical ratings;
- b) dimensions;
- c) environmental conditions.

2. – The limits of the range of ratings shall be agreed between user and manufacturer.

9.1.2 *Essai d'homologation (essai de type)*

L'essai d'homologation d'un produit est constitué par l'ensemble des essais à effectuer sur un échantillon appartenant au type spécifié, dans le but de déterminer si les produits d'un fabricant particulier peuvent être considérés comme satisfaisant à la spécification. La liste de ces essais est donnée dans l'annexe A.

9.1.3 *Essais de réception*

Les essais de réception sont les essais effectués pour décider de la réception d'une fourniture, par accord entre le fabricant et le client. L'accord couvre:

- a) l'effectif de l'échantillon;
- b) le choix des essais;
- c) la mesure dans laquelle l'échantillon soumis à l'essai devra être conforme aux exigences des essais choisis dans la spécification.

Note. – En cas de désaccord sur les résultats d'essais, les méthodes d'essais normalisées de la CEI seront utilisées pour les essais de réception.

9.1.4 *Essais de contrôle de fabrication*

Les essais de contrôle de fabrication sont les essais effectués par le fabricant pour s'assurer que ses produits satisfont à la spécification.

9.1.5 *Réalisation des essais*

L'effectif de l'échantillon approprié à essayer dans chaque cas particulier dépend du but du contrôle et fera l'objet d'un accord entre client et fabricant. L'effectif minimal à soumettre à un essai quelconque ne doit pas être inférieur à cinq, à moins d'un accord particulier entre client et fabricant.

La présente norme ne fixe pas le nombre de défauts admissibles, celui-ci est en effet considéré comme une prérogative de l'autorité accordant l'approbation d'homologation.

Note. – Une partie d'une gamme complète, ou des produits isolés, prévus dans cette norme, peuvent être soumis aux essais d'homologation en vue d'obtenir une homologation limitée.

9.2 *Conditions atmosphériques normales de mesure*

Sauf spécification contraire, tous les essais doivent être effectués dans les conditions atmosphériques normales d'essai recommandées par la Publication 68-1 de la CEI: Essais fondamentaux climatiques et de robustesse mécanique, Première partie: Généralités, c'est-à-dire:

- Température +15 °C à +35 °C.
- Humidité relative 45% à 75%.
- Pression atmosphérique 860 mbar à 1 060 mbar.

10. **Examen visuel**

L'examen visuel comprend la vérification du marquage et de l'aspect. Le marquage doit être conforme aux prescriptions du paragraphe 4.5 et l'aspect aux prescriptions du paragraphe 4.3.

11. **Dimensions**

11.1 *Remarque générale*

L'utilisateur d'un type quelconque de circuit magnétique coupé a toujours besoin que trois exigences mécaniques soient remplies. Il faut que:

- a) le circuit entre dans le caniveau ou la carcasse associés;
- b) la section ne soit pas inférieure à la valeur spécifiée;
- c) le profil extérieur ne dépasse pas les dimensions maximales spécifiées.

9.1.2 *Type test*

The type test of a product is the complete series of tests given in Appendix A, to be carried out on a number of specimens representative of the type, with the object of determining whether a particular manufacturer's product can be considered to meet the specification.

9.1.3 *Acceptance tests*

Acceptance tests are tests carried out to determine the acceptability of a consignment on the basis of an agreement between customer and manufacturer. The agreement shall cover:

- a) the sample size;
- b) the selection of tests;
- c) the extent to which the test specimens shall conform to the requirements for the selected tests of the specification.

Note. – In cases of divergent test results, the IEC standard test methods shall be used for acceptance tests.

9.1.4 *Factory tests*

Factory tests are those tests carried out by the manufacturer to verify that his products meet the specification.

9.1.5 *Application of tests*

The appropriate number of specimens to be tested in any particular case depends upon the purpose of the testing; it shall be agreed upon between user and manufacturer. The minimum number of specimens to be subjected to any single test shall be not less than five, unless otherwise agreed by the user and the manufacturer.

This standard does not specify the number of permissible failures; this is considered to be the prerogative of the authority giving type approval.

Note. – Part of a full range, or individual items, given in this standard, may be submitted to the type tests in order to obtain a limited type approval.

9.2 *Standard testing conditions*

Unless otherwise specified, all tests shall be carried out at the standard atmospheric conditions for testing as recommended by IEC Publication 68-1: Basic Environmental Testing Procedures, Part 1: General, viz:

- Temperature +15 °C to +35 °C.
- Relative humidity 45% to 75%.
- Air pressure 860 mbar to 1 060 mbar.

10. *Visual examination*

The visual examination comprises a check on the marking and on the general appearance and condition. The marking shall be in accordance with Sub-clause 4.5 and the general appearance and condition with Sub-clause 4.3.

11. *Dimensions*

11.1 *General*

The user of any type of strip-wound cut core is always concerned about three of the mechanical aspects of the core:

- a) that the core will enter its associated coil former or bobbin;
- b) that the cross-sectional area is not less than its specified value;
- c) that the maximum overall dimensions are not exceeded.

Des petits écarts sur la rectangularité des fenêtres et sur le profil extérieur sont admis, pourvu que les conditions *a), b), c)* ci-dessus soient remplies.

Dans les paragraphes 11.2, 11.3 et 11.4, des méthodes permettant de vérifier ces conditions sont suggérées.

11.2 *Section*

Les cotes *D* et *E* sont mesurées à des points aussi près que possible de chaque extrémité rectifiée des demi-circuits avec un pied à coulisse ou un calibre. Toutes les jambes de chaque demi-circuit doivent être mesurées de cette manière.

Ces dimensions doivent être comprises entre les valeurs minimales et maximales des tableaux VI et VII, pages 37 et 42. En ce qui concerne la dimension *D*, il est nécessaire de tenir compte du manque de planéité relative. Il ne doit pas être supérieur à *B*/150 (voir figure 1, page 32).

11.3 *Profil extérieur*

Le profil extérieur est vérifié à l'aide d'un calibre parallélépipédique aux dimensions intérieures suivantes, données dans les tableaux VI et VII:

$$\text{Largeur} = A_{\max}$$

$$\text{Longueur} = B_{\max}$$

Les deux demi-circuits, associés conformément aux repères mentionnés dans le paragraphe 4.5, doivent entrer librement dans le calibre.

11.4 *Profil intérieur, cotes D et E maximales*

Les deux demi-circuits étant introduits dans un calibre en forme de tube (les dimensions en sont indiquées dans la figure 2, page 33) doivent se toucher correctement. Chaque jambe sera essayée de cette façon.

Note. – Il est fortement recommandé de prévoir dans le calibre, représenté dans la figure 2, pour la simplicité, comme un tube, des fenêtres permettant de vérifier visuellement la fermeture correcte de tous les entreffers.

12. *Essais climatiques et mécaniques*

12.1 *Froid*

12.1.1 *Vérification initiale*

L'aspect et le marquage sont examinés à l'œil nu. Ils doivent être conformes aux paragraphes 4.3 et 4.5.

12.1.2 *Epreuve*

Les circuits doivent être correctement assemblés et cerclés. L'essai est effectué conformément à l'essai Aa, Froid, de la Publication 68-2-1 de la CEI. Les pièces seront maintenues à la température d'essai jusqu'à obtenir de la stabilité thermique mais pendant 2 h au moins, cette température étant égale à la valeur inférieure de la gamme appropriée choisie dans le tableau II, page 12.

12.2 *Huile chaude*

12.2.1 *Vérification initiale*

L'aspect et le marquage sont examinés à l'œil nu. Ils doivent être conformes aux paragraphes 4.3 et 4.5.

Small deviations from rectangularity of the windows and outer profiles are acceptable provided that the conditions *a), b)* and *c)* given above are met.

Sub-clauses 11.2 to 11.4 give possible methods of verifying the above conditions.

11.2 *Cross-sectional area*

The dimensions *D* and *E* are checked with a caliper gauge as near as possible to each cut face of the core halves. All limbs of each core half shall be so checked.

These dimensions shall lie within the minimum and maximum values given in Tables VI and VII, pages 37 and 42. When considering dimension *D*, the lack of relative planicity (tilt) should be borne in mind. This tilt shall not exceed *B*/150 (see Figure 1, page 32).

11.3 *Maximum overall dimensions*

The maximum overall dimensions are to be verified with the aid of a box-type gauge with the following inner dimensions according to Tables VI or VII:

$$\text{Width} = A_{\max}$$

$$\text{Length} = B_{\max}$$

The two parts of a complete core loop correctly placed together according to the marking, mentioned in Sub-clause 4.5, shall easily enter the gauge.

11.4 *Minimum window dimensions - Maximum depth and build-up*

With the core inserted into a tube gauge having the dimensions shown in Figure 2, page 33, the core halves shall meet correctly. Each limb of the core loop shall be so checked.

Note. – It is strongly recommended that the design of the gauge, shown in Figure 2 for simplicity as a tube gauge, should be such that when a core is inserted into it, the correct closure of all gaps may be visually confirmed.

12. Environmental tests

12.1 *Cold*

12.1.1 *Initial examination*

The general condition and marking of the sample are to be examined visually and shall be in accordance with Sub-clauses 4.3 and 4.5.

12.1.2 *Conditioning*

The core shall be correctly assembled and banded together. The test shall be carried out in accordance with Test Aa, Cold, of IEC Publication 68-2-1, at the lower value of the temperature range selected from Table II, page 13. The samples shall remain at the test temperature until thermal stability is reached but not less than 2 h.

12.2 *Hot oil*

12.2.1 *Initial examination*

The general condition and marking of the sample are to be examined visually and shall be in accordance with Sub-clauses 4.3 and 4.5.

12.2.2 *Epreuve*

Les circuits doivent être correctement assemblés et cerclés. Ils sont immersés dans une huile de silicium pour transformateur à la température ambiante. Ensuite la température de l'huile est élevée, en un temps compris entre une $\frac{1}{2}$ h et 1 h, jusqu'à la valeur supérieure de la gamme appropriée choisie dans le tableau II, page 12, $\pm 2^{\circ}\text{C}$. Les circuits doivent rester dans l'huile à cette température pendant 24 h, au moins. A la fin de cette période, les circuits sont retirés et on les laisse refroidir dans les conditions atmosphériques normales.

Note. – Propriétés requises pour cette huile:

- Température de service $\geq 160^{\circ}\text{C}$.
- Stabilité chimique, absence d'acidité.
- Absence de dégagement gazeux et de toxicité.

12.3 *Variation de température*

12.3.1 *Vérification initiale*

L'aspect et le marquage sont examinés à l'œil nu. Ils doivent être conformes aux paragraphes 4.3 et 4.5.

12.3.2 *Epreuve*

Les circuits doivent être correctement assemblés et cerclés. L'essai est effectué conformément à l'essai Na, Variations rapides de température, méthode à deux chambres, de la Publication 68-2-14 de la CEI. Les spécimens sont soumis à cinq cycles d'essai dans les conditions et durées suivantes:

- 30 min à la température inférieure de la gamme choisie dans le tableau II;
- 30 min à la température supérieure de la gamme choisie dans le tableau II.

Le passage d'une chambre à l'autre ne doit pas être inférieur à 2 min ni supérieur à 3 min.

12.3.3 *Reprise*

A la fin de l'épreuve et avant la vérification finale, les circuits sont soumis aux conditions atmosphériques normales.

12.4 *Résistance au cerclage*

12.4.1 *Vérification initiale*

L'aspect et le marquage sont examinés à l'œil nu. Ils doivent être conformes aux paragraphes 4.3 et 4.5.

12.4.2 *Epreuve*

Version a

Le circuit est assemblé par cerclage à l'aide d'une bande d'acier appropriée, placée symétriquement. La bande sera soumise à une tension permettant d'obtenir une pression de 200 N/cm^2 sur une jambe ($D_{\min} \cdot E_{\min}$).

Ensuite la bande de cerclage est enlevée et les deux demi-circuits sont placés à plat entre deux plaques d'acier qui sont donc appliquées sur les flancs. Ceux-ci seront soumis à une pression de 7 N/cm^2 , la surface de référence étant donnée par $I_{\text{Fl}} \cdot E_{\min}$ pour les circuits monophasés et par $\frac{m_{\text{Fe}}}{\rho \cdot A_{\text{Fe}}} \cdot E_{\min}$ pour les circuits triphasés.

12.2.2 Conditioning

The core shall be correctly assembled and banded together. It shall be immersed in silicone transformer oil at ambient temperature. The temperature of the oil is then raised within not less than $\frac{1}{2}$ h and not more than 1 h to the upper value of the appropriate range selected from Table II, page 13, $\pm 2^{\circ}\text{C}$. The core shall be kept in the oil at this temperature for at least 24 h. After this period, the core shall be removed to cool off at normal atmospheric conditions.

Note. – Essential characteristics of the oil:

- Operating temperature $\geq 160^{\circ}\text{C}$;
- Chemical stability, absence of acid;
- Absence of volatile or toxic components.

12.3 Temperature cycling

12.3.1 Initial examination

The general condition and marking of the sample are to be examined visually and shall be in accordance with Sub-clauses 4.3 and 4.5.

12.3.2 Conditioning

The core shall be correctly assembled and banded together. The test shall be carried out in accordance with Test Na, Rapid change of temperature, two chamber method, of IEC Publication 68-2-14. The specimens shall be subjected to five test cycles at the following conditions and durations:

- 30 min at the lower temperature of the range selected from Table II;
- 30 min at the higher temperature of the range selected from Table II.

The change-over time shall be not less than 2 min and not more than 3 min.

12.3.3 Recovery

After conditioning, the samples shall be brought to standard atmospheric conditions before testing.

12.4 Rigidity

12.4.1 Initial examination

The general condition and marking of the sample are to be examined visually and shall be in accordance with Sub-clauses 4.3 and 4.5.

12.4.2 Conditioning

Version a

A strip-wound cut core shall be banded together by an appropriate steel band, applied centrally. A force is applied to the band so that the pressure related to the cut surface ($D_{\min} \cdot E_{\min}$) is 200 N/cm^2 (290 lb/in^2).

After removal of the band, the two parts of the core are placed between two flat steel plates applied to the sides containing the edges. The core is then subjected to a pressure of 7 N/cm^2 (10 lb/in^2), related to the surface given by $l_{F1} \cdot E_{\min}$ for C-core loops and by $\frac{m_{Fe}}{\rho \cdot A_{Fe}} \cdot E_{\min}$ for E-core loops.

Version b (applicable pour des circuits monophasés seulement)

La force est appliquée aux deux parties du circuit par une machine entre deux surfaces souples, par exemple bandes articulées (voir figure 3, page 34).

Note. – Il a été mis en évidence que la résistance au cerclage d'un circuit ayant subi les essais des paragraphes 12.1, 12.2 et 12.3 peut être considérée comme suffisante. Il est donc recommandé d'appliquer l'essai du paragraphe 12.4 seulement dans des cas où des applications spéciales exigent la vérification directe de la résistance au cerclage.

12.5 Vérification finale

Tous les essais climatiques et mécaniques choisis étant effectués, les circuits doivent être examinés; leur aspect doit être conforme au paragraphe 4.3.

Il doit être vérifié que les circuits sont conformes aux conditions dimensionnelles et électriques spécifiées. L'exigence que le marquage doit rester lisible après les essais climatiques et mécaniques fera l'objet d'un accord entre le client et le fabricant.

13. Essais électriques

13.1 Circuits monophasés

13.1.1 Conditions d'essai

Les faces de l'entrefer des noyaux en essai doivent être propres et exemptes de poussière, copeaux, finition protectrice, etc.

Les mesures doivent être effectuées selon la figure 4a ou 4b, page 35, à l'induction et à la fréquence spécifiées au tableau III, page 14.

Le nombre de spires N_1 et N_2 des enroulements doit être adapté aux appareils de mesure utilisés. L'enroulement de tension N_2 doit être l'enroulement intérieur et entourer le circuit aussi étroitement que possible. La résistance des enroulements doit être aussi basse que possible.

La tension U_2 doit être réglée à la valeur appropriée calculée à partir de la tension par spire U_2^+ conformément aux paragraphes 13.1.2 et 13.1.3. Les valeurs de U_2^+ sont données dans le tableau X, page 52, pour les circuits de types recommandés.

La dérive du facteur de forme de U_2 ne doit pas dépasser 6%. Cela peut être vérifié de la façon habituelle par des mesures simultanées avec les voltmètres V_1 (pour mesurer la valeur moyenne) et V_2 (pour mesurer la valeur efficace).

Note. – Pour les types non recommandés, on calcule U_2^+ par la formule:

$$U_2^+ = 2\pi f \cdot A_{Fe} \cdot \frac{\hat{B}}{\sqrt{2}}$$

\hat{B} étant la valeur indiquée au tableau III.

13.1.2 Mesure des pertes totales

Avec le circuit de mesure selon la figure 4a, on calcule la tension U_2 par la formule:

$$U_2 = U_2^+ \cdot \frac{N_2}{1 + R_2 \left(\frac{1}{R_v} + \frac{1}{R_w} \right)}$$

où:

R_2 = résistance de l'enroulement N_2

R_v = résistance du voltmètre V_2

R_w = résistance du circuit de tension du wattmètre

Version b (applicable to C-core loops only)

The force is applied on the two parts of the core by an apparatus with flexible surfaces, e.g. flexible bands (see Figure 3, page 34).

Note. – It must be emphasized that a core having passed the tests of Sub-clauses 12.1, 12.2 and 12.3 can be considered as having sufficient rigidity. Cores should only be submitted to the test of Sub-clause 12.4 when special applications require the direct testing of rigidity.

12.5 Final verification

After all the selected climatic and mechanical tests, the cores shall be examined and their general appearance and condition shall remain in accordance with Sub-clause 4.3.

It shall be verified that the cores meet the specified dimensional and electrical requirements. The requirement that the markings shall remain easily legible after the climatic and mechanical tests shall be subject to agreement between user and manufacturer.

13. Electrical tests

13.1 C-core loops

13.1.1 Test conditions

The gap surfaces of the cores under test shall be clean and free from dust, burrs, protective finish, etc.

The measurements shall be carried out in the measuring circuit according to Figure 4a or 4b, page 35, with the flux density (induction) and at the frequency specified in Table III, page 15.

The number of turns N_1 and N_2 of the windings shall be adapted to the instruments used. The voltage winding N_2 shall be the inner winding and shall be as close as possible to the core. The resistance of both windings shall be as low as possible.

The voltage U_2 shall be adjusted to the appropriate value calculated from the r.m.s. voltage per turn U_2^+ in accordance with Sub-clauses 13.1.2 and 13.1.3. For the preferred core sizes, U_2^+ is given in Table X, page 52.

The deviation of the form factor of U_2 shall not exceed 6%. This can be checked by simultaneous readings of voltmeters V_1 (measuring average voltage) and V_2 (measuring r.m.s. voltage).

Note. – For non-preferred sizes, U_2^+ can be calculated from:

$$U_2^+ = 2\pi f \cdot A_{Fe} \cdot \frac{\hat{B}}{\sqrt{2}}$$

\hat{B} being the appropriate value according to Table III.

13.1.2 Measurement of total power loss

For the measuring circuit according to Figure 4a, the voltage setting U_2 is calculated from:

$$U_2 = U_2^+ \cdot \frac{N_2}{1 + R_2 \left(\frac{1}{R_v} + \frac{1}{R_w} \right)}$$

where:

R_2 = d.c. resistance of winding N_2

R_v = resistance of voltmeter V_2

R_w = resistance of voltage circuit of wattmeter

La puissance est mesurée avec le wattmètre W, le voltmètre V₁ étant mis hors circuit. Les pertes totales P_L sont calculées à partir de la puissance mesurée P_m par la formule:

$$P_L = \left[1 + R_2 \left(\frac{1}{R_v} + \frac{1}{R_w} \right) \right] \left[\frac{N_1}{N_2} \cdot P_m - U_2^2 \left(\frac{1}{R_v} + \frac{1}{R_w} \right) \right]$$

Si l'on utilise des appareils ayant des circuits de tension à haute impédance d'entrée qui permettent une lecture directe des valeurs de tension et de puissance (par exemple appareils à amplificateur incorporé), ces formules peuvent être simplifiées, soit:

$$U_2 = U_2^+ \cdot N_2 \quad P_L = \frac{N_1}{N_2} \cdot P_m$$

Note. – Quand la lecture directe n'est pas possible, par exemple avec des amplificateurs externes (figure 4b, page 35), il faut tenir compte du gain des amplificateurs.

13.1.3 Mesure de la puissance d'excitation totale

Dans le circuit de mesure selon figure 4a, le wattmètre est déconnecté. La tension se calcule d'après la formule:

$$U_2 = U_2^+ \cdot N_2 \frac{R_v}{R_v + R_2}$$

Le courant primaire I₁ et la tension secondaire U₂ sont mesurés simultanément avec les instruments A et V₂ respectivement, le voltmètre V₁ étant mis hors circuit. La puissance d'excitation totale est dérivée de la formule:

$$S = \frac{N_1}{N_2} \cdot \frac{R_v + R_2}{R_v} \cdot U_2 I_1$$

Si la mesure de la tension est effectuée avec un appareil à haute impédance d'entrée et que la tension et le courant peuvent être obtenus par lecture directe (par exemple appareils à amplificateurs incorporés), ces formules peuvent être simplifiées, soit:

$$U_2 = U_2^+ \cdot N_2 \quad S = \frac{N_1}{N_2} \cdot U_2 I_1$$

Note. – Quand la lecture directe n'est pas possible, par exemple avec des amplificateurs externes (figure 4b), il faut tenir compte du gain des amplificateurs.

13.2 Circuits triphasés

13.2.1 Conditions d'essai

Les précautions indiquées au paragraphe 13.1.1 pour les circuits monophasés sont applicables aux circuits triphasés. Les mesures doivent être effectuées suivant la figure 5, page 36, à l'induction et à la fréquence spécifiées au tableau IV, page 16.

Les tensions par spire U₂⁺, qui servent à déterminer les tensions U₂ à appliquer, sont données au tableau XI, page 56, pour les circuits de types recommandés.

La symétrie du réseau d'alimentation à trois ou quatre fils doit être assurée.

13.2.2 Mesure des pertes

La mesure est effectuée selon la méthode des trois wattmètres (figure 5). La tension induite est mesurée avec un voltmètre connecté aux bornes de l'enroulement secondaire de la jambe centrale du circuit. Les pertes totales sont égales à la somme des pertes dans les trois phases.

13.2.3 Mesure de la puissance d'excitation

Les indications contenues dans le paragraphe 13.1.3 pour les circuits monophasés sont valables à l'exception de la mesure du courant qui est effectuée dans les trois phases. La puissance d'excitation totale est égale à la somme des puissances d'excitation dans chaque phase.

The wattmeter W is read when voltmeter V₁ is disconnected. The total power loss P_L is calculated from the measured power P_m as follows:

$$P_L = \left[1 + R_2 \left(\frac{1}{R_v} + \frac{1}{R_w} \right) \right] \left[\frac{N_1}{N_2} \cdot P_m - U_2^2 \left(\frac{1}{R_v} + \frac{1}{R_w} \right) \right]$$

When the voltage circuits of the instruments show high input impedance and the actual values of voltage and power can be read directly (such as for instruments with incorporated amplifiers), these equations reduce to:

$$U_2 = U_2^+ \cdot N_2 \quad P_L = \frac{N_1}{N_2} \cdot P_m$$

Note. – When no direct reading is possible, e.g. when external amplifiers are used (Figure 4b, page 35), the gain of the amplifiers has to be taken into account.

13.1.3 Measurement of total apparent power

In the measuring circuit according to Figure 4a, the wattmeter is disconnected. The voltage is calculated from:

$$U_2 = U_2^+ \cdot N_2 \frac{R_v}{R_v + R_2}$$

The primary current I₁ and the secondary voltage U₂ are simultaneously measured with A and V₂ respectively, voltmeter V₁ being disconnected. The total apparent power is derived from:

$$S = \frac{N_1}{N_2} \cdot \frac{R_v + R_2}{R_v} \cdot U_2 I_1$$

When the voltmeter shows high input impedance and the actual values of voltage and current can be read directly (such as for instruments with incorporated amplifiers), these equations reduce to:

$$U_2 = U_2^+ \cdot N_2 \quad S = \frac{N_1}{N_2} \cdot U_2 I_1$$

Note. – When no direct reading is possible, e.g. when external amplifiers are used (Figure 4b), the gain of the amplifiers has to be taken into account.

13.2 E-core loops

13.2.1 Test conditions

The precautions stipulated in Sub-clause 13.1.1 for C-core loops also apply to E-core loops. The measurements shall be carried out in accordance with Figure 5, page 36, at the flux density and frequency specified in Table IV, page 17.

The voltage per turn U₂⁺, used to determine the voltage U₂ to be applied during the measurement, is given in Table XI, page 56, for the preferred sizes of core.

The three-phase, three-wire or four-wire primary supply system shall be symmetrical.

13.2.2 Measurement of power loss

The measurement is made with the three-wattmeter method (Figure 5). The induced voltage is measured by a voltmeter connected to the terminals of the secondary winding of the middle limb of the core. The total power loss is the sum of the losses of all the phases.

13.2.3 Measurement of apparent power

The method for C-core loops given in Sub-clause 13.1.3 may be applied to E-cores with the exception that the currents of each phase must be measured. The total apparent power is the sum of the apparent power dissipated in the three phases.

SECTION QUATRE – CARACTÉRISTIQUES DES MODÈLES RECOMMANDÉS

14. Listes des dimensions

14.1 Circuits monophasés

Les modèles recommandés de circuits monophasés sont subdivisés dans les cinq séries suivantes:

La série P comprend de très petits circuits d'origine des Etats-Unis d'Amérique.

La série Q est conforme à la série HWR d'une norme du Royaume-Uni. Elle a été incorporée aussi dans les normes d'autres pays (par exemple d'Allemagne DIN 41 309, série SG, de France CCTU 06-01 B).

Les séries M, R et U sont respectivement les séries SM, SE et SU de la norme allemande DIN 41 309:

La série M contient des noyaux dont les dimensions sont intermédiaires entre celles des séries P et Q.

La série R contient des noyaux plus grands que ceux de la série Q.

La série U étend les modèles recommandés à des valeurs plus grandes.

Les dimensions des circuits monophasés sont spécifiées dans le tableau VI, page 37.

14.2 Circuits triphasés

Les modèles recommandés de circuits triphasés sont subdivisés dans les trois séries suivantes:

La série 3 P comprend des petits circuits d'origine française et britannique.

La série 3 Q comprend des circuits de dimensions moyennes d'origine britannique.

La série 3 U comprend des gros circuits d'origine allemande (DIN 41 309, série S 3U).

Les dimensions des circuits triphasés sont spécifiées dans le tableau VII, page 42.

15. Propriétés électriques

Les propriétés électriques sont spécifiées dans les tableaux X et XI, pages 52 et 56.

SECTION FOUR - DATA FOR PREFERRED CORE SIZES

14. Dimensional lists

14.1 *C-core loops*

The preferred sizes of C-core loops are divided into five series, as follows:

Series P consists of very small cores of U.S.A. origin.

Series Q is the HWR series in a U.K. specification. It is also adopted by other countries in their standards (e.g. German standard DIN 41 309; series SG, French standard CCTU 06-01 B).

Series M, R and U are the SM, SE and SU series, respectively, of the German standard DIN 41 309:

Series M contains cores whose sizes are intermediate between those of Series P and Q.

Series R contains cores larger than those in Series Q.

Series U extends the preferred sizes to even larger values.

The dimensions of C-cores are given in Table VI, page 37.

14.2 *E-core loops*

The preferred sizes of E-core loops are divided into three series, as follows:

Series 3 P consists of small cores of French and British origin.

Series 3 Q consists of medium size cores of British origin.

Series 3 U consists of large cores of German origin (DIN 41 309, series S 3U).

The dimensions of E-core loops are given in Table VII, page 42.

15. Electrical properties

The electrical properties are specified in Tables X and XI, pages 52 and 56.

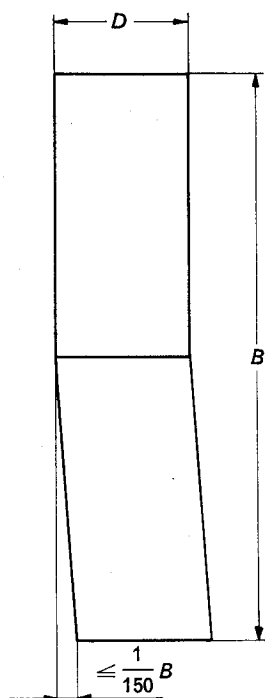
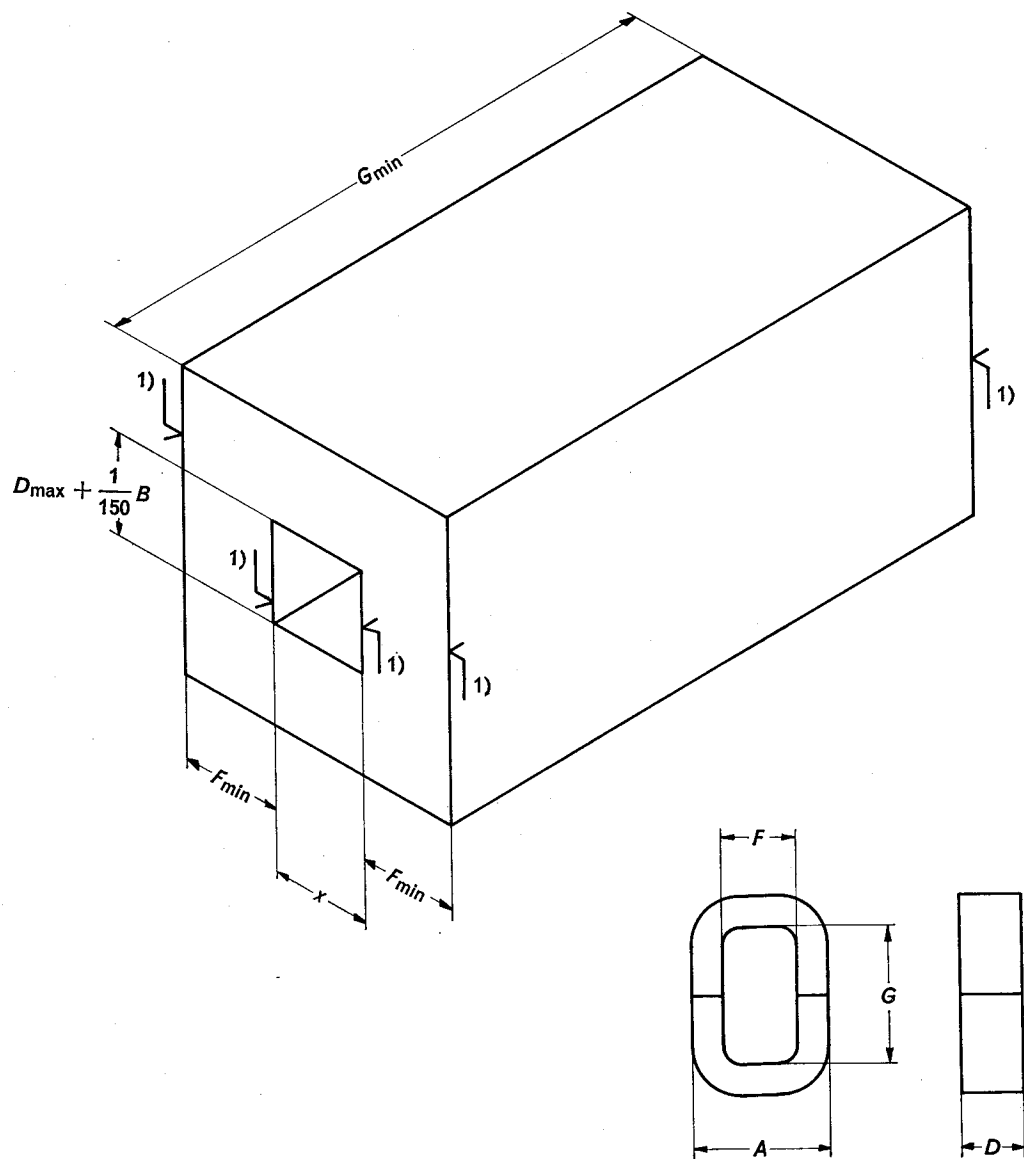


FIG. 1. – Manque de planéité relative.
Tilt.



$$x = \begin{cases} \frac{1}{2} (A_{\max} - F_{\min}) & \text{pour circuits monophasés} \\ & \text{for C-core loops} \\ \frac{1}{3} (A_{\max} - 2F_{\min}) & \text{pour circuits triphasés} \\ & \text{for E-core loops} \end{cases}$$

¹⁾ Tous ces bords doivent être arrondis ou chanfreinés conformément aux rayons intérieurs spécifiés pour le circuit.

¹⁾ All these edges to be radiused or chamfered to clear corresponding inner radii specified for the core.

FIG. 2. – Calibre en forme de tube.
Tube gauge.

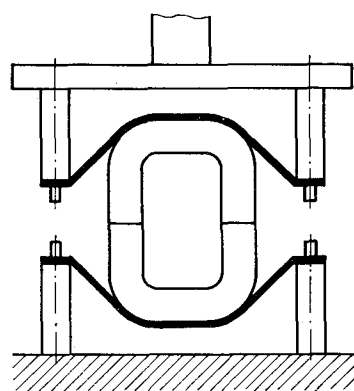


FIG. 3. – Essai de résistance au cerclage.
Rigidity test.

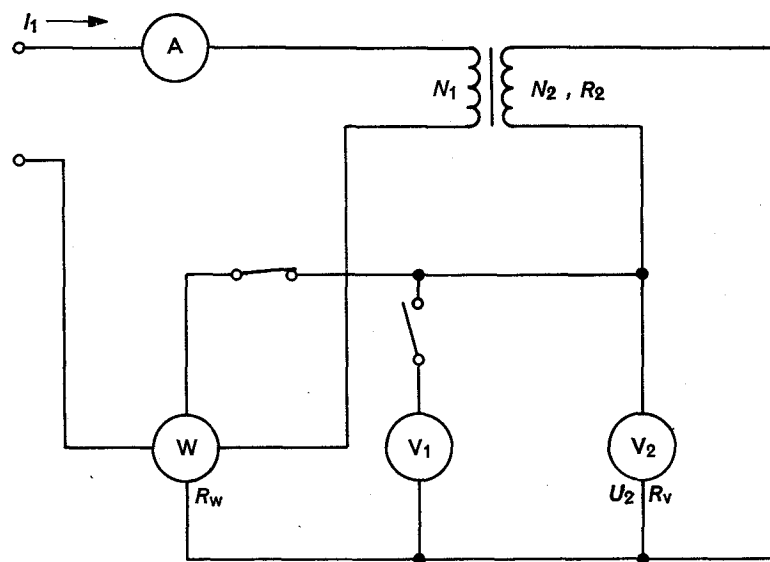


FIG. 4a. – Essais électriques des circuits monophasés, mesure directe.
Electrical tests of C-cores, direct method.

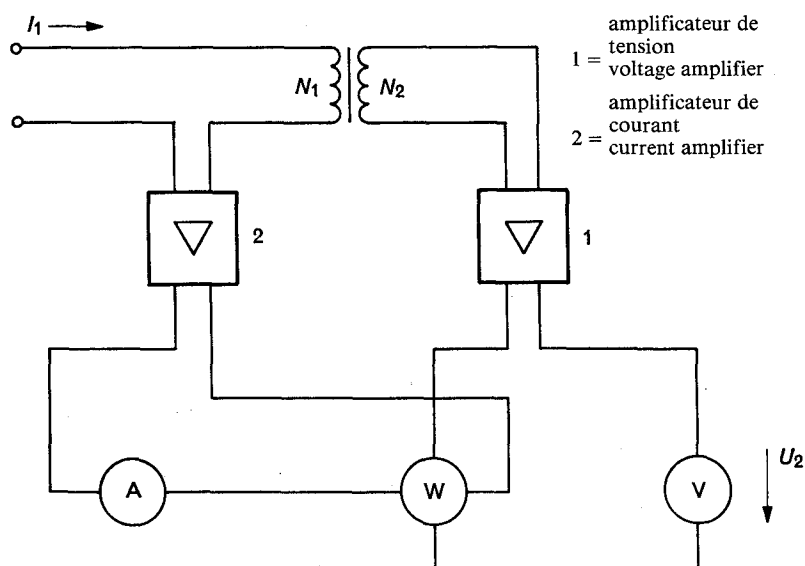
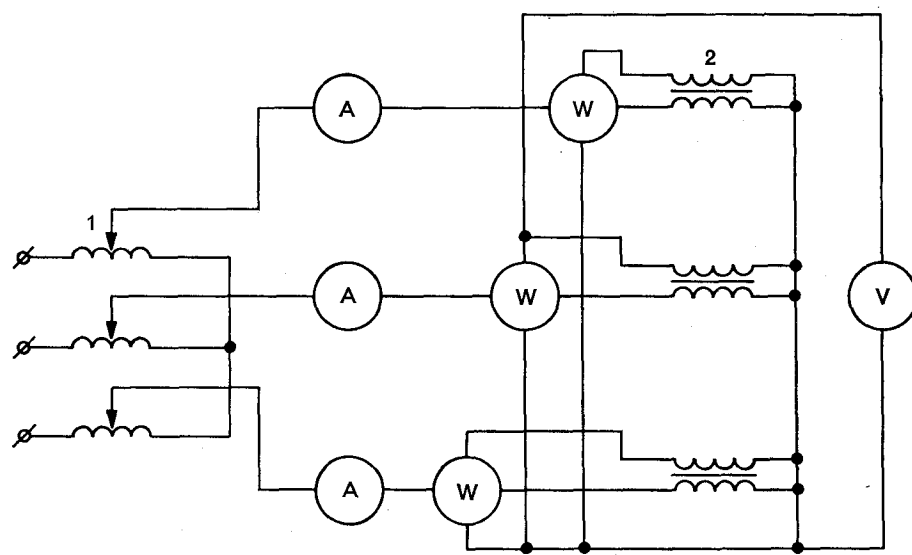


FIG. 4b. – Avec amplificateurs.
With amplifiers.



1 = transformateur
transformer

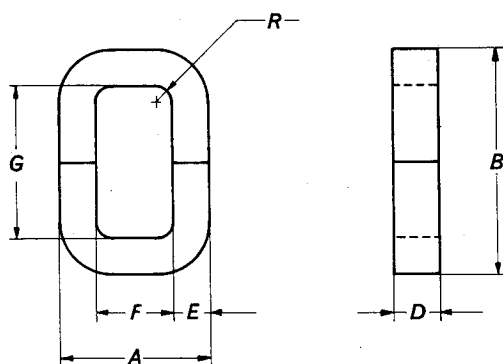
2 = objet mesuré
object to be measured

FIG. 5. – Méthode des trois wattmètres.
Three-wattmeter method.

TABLEAU VI

Listes des dimensions des circuits monophasés

TABLE VI

Dimensional lists of C-core loopsOrigine } USA
Origin }Série P
Series PUnité d'origine inch
Original unit

Type	A_{\max} mm in	B_{\max} mm in	D_{\min} mm in	D_{\max} mm in	E_{\min} mm in	E_{\max} mm in	F_{\min} mm in	G_{\min} mm in	R_{\max} mm in
P 1.1	7,1 0,281	14,3 0,563	3,2 0,125	4,0 0,156	1,2 0,047	2,0 0,078	2,8 0,109	9,1 0,359	0,8 0,03
2.1	10,3 0,406	17,5 0,688	3,2 0,125	4,0 0,156	2,8 0,109	3,6 0,141	2,8 0,109	9,1 0,359	0,8 0,03
3.1	11,1 0,438	17,5 0,688	6,4 0,250	7,1 0,281	2,8 0,109	3,6 0,141	3,6 0,141	9,1 0,359	0,8 0,03
P 4.1	11,9 0,469	17,5 0,688	3,2 0,125	4,0 0,156	2,8 0,109	3,6 0,141	4,4 0,172	9,1 0,359	0,8 0,03
4.2			6,4 0,250	7,1 0,281					
P 5.1	13,5 0,531	20,6 0,813	6,4 0,250	7,1 0,281	2,8 0,109	3,6 0,141	6,0 0,234	12,3 0,484	0,8 0,03

Fabriqués uniquement en bandes d'épaisseurs de 0,025 mm et 0,05 mm.
Available with 0.025 mm and 0.05 mm (0.001 in and 0.002 in) strips only.

TABLEAU VI (*suite*)

Origine } UK Standard DEF 5193, HWR
 Origin }
 Series Q

TABLE VI (*continued*)

Unité d'origine inch
 Original unit

Type	A_{\max} mm in	B_{\max} mm in	D_{\min} mm in	D_{\max} mm in	E_{\min} mm in	E_{\max} mm in	F_{\min} mm in	G_{\min} mm in	R_{\max} mm in
Q 1.1*	21,0 0,828	29,4 1,156	6,4 0,250	7,2 0,28	6,4 0,250	7,2 0,28	6,4 0,250	14,3 0,563	1,0 0,04
2.1*	25,8 1,016	35,7 1,406	7,9 0,313	8,7 0,34	7,9 0,313	8,7 0,34	7,9 0,312	17,5 0,688	
3.1	30,6 1,203	43,7 1,719	9,5 0,375	10,3 0,41	9,5 0,375	10,3 0,41	9,5 0,375	22,2 0,875	
4.1	32,1 1,266	50,0 1,969	9,5 0,375	10,3 0,41	9,5 0,375	10,3 0,41	11,1 0,438	28,6 1,125	
Q 5.1	30,6 1,203	56,4 2,219	12,7 0,500	13,5 0,53	7,9 0,313	8,7 0,34	12,7 0,500	38,1 1,500	1,5 0,06
5.2			19,0 0,750	19,8 0,78					
5.3			25,4 1,000	26,2 1,03					
5.4			38,1 1,500	38,9 1,53					
Q 6.1	36,9 1,453	73,0 2,875	12,7 0,500	13,5 0,53	9,5 0,375	10,3 0,41	15,9 0,625	50,8 2,000	3,0 0,12
6.2			19,0 0,750	19,8 0,78					
6.3			25,4 1,000	26,2 1,03					
6.4			31,7 1,250	32,5 1,28					
Q 7.1	40,1 1,578	79,4 3,125	19,0 0,750	19,8 0,78	9,5 0,375	10,3 0,41	19,0 0,750	57,2 2,250	
7.2			25,4 1,000	26,2 1,03					
7.3			31,7 1,250	32,5 1,28					
7.4			38,1 1,500	38,9 1,53					
Q 8.1	49,6 1,953	92,1 3,625	22,2 0,875	23,0 0,91	12,7 0,500	13,5 0,53	22,2 0,875	63,5 2,500	
8.2			28,6 1,125	29,4 1,16					
8.3			38,1 1,500	38,9 1,53					
8.4			50,8 2,000	51,6 2,03					
Q 9.1	62,3 2,453	111,1 4,375	19,0 0,750	19,8 0,78	15,9 0,625	16,7 0,66	28,6 1,125	76,2 3,000	
9.2			28,6 1,125	29,4 1,16					
9.3			38,1 1,500	38,9 1,53					
9.4			50,8 2,000	51,6 2,03					
Q 10.1	75,0 2,953	130,2 5,125	25,4 1,000	26,2 1,03	19,0 0,750	19,8 0,78	34,9 1,375	88,9 3,500	
10.2			38,1 1,500	38,9 1,53					
10.3			50,8 2,000	51,6 2,03					
10.4			69,8 2,750	71,4 2,81					
Q 11.1	97,2 3,828	169,9 6,687	31,7 1,250	32,5 1,28	25,4 1,000	26,2 1,03	44,4 1,750	114,3 4,500	
11.2			50,8 2,000	51,6 2,03					

*Fabriqués uniquement en bandes d'épaisseurs de 0,10 mm (et plus minces).

Available with 0.10 mm (0.004 in) strips (and smaller) only.

TABLEAU VI (*suite*)

Origine } German Standard DIN 41309
 Origin }
 Série SE
 Series

Série R
 Series

TABLE VI (*continued*)

Unité d'origine mm
 Original unit

Type	A_{\max} mm in	B_{\max} mm in	D_{\min} mm in	D_{\max} mm in	E_{\min} mm in	E_{\max} mm in	F_{\min} mm in	G_{\min} mm in	R_{\max} mm in
R 1.1 1.2	65,3 2,571	108,8 4,283	36,0 1,417	37,2 1,465	16,5 0,650	17,4 0,685	30,0 1,181	73 2,874	2,0 0,08
			46,0 1,811	47,2 1,858					
R 2.1 2.2 2.3	75,2 2,961	123,8 4,874	40,0 1,575	41,2 1,622	18,9 0,744	19,8 0,780	35,0 1,378	83 3,268	2,0 0,08
			50,0 1,969	51,2 2,016					
			60,0 2,362	61,2 2,409					
R 3.1 3.2 3.3	85,0 3,346	145,8 5,740	54,5 2,146	56,0 2,205	21,1 0,831	22,1 0,870	40,0 1,575	100 3,937	3,0 0,12
			64,5 2,539	66,0 2,598					
			74,5 2,933	76,0 2,992					
R 4.1 4.2 4.3	98,2 3,866	186,8 7,354	55,5 2,185	57,0 2,244	26,2 1,032	27,3 1,075	42,5 1,673	130 5,118	3,0 0,12
			68,5 2,697	70,0 2,756					
			83,5 3,287	85,0 3,346					
R 5.1 5.2 5.3	116,1 4,571	216,0 8,504	61,5 2,421	63,0 2,480	30,8 1,213	32,1 1,264	50,5 1,988	149 5,866	3,0 0,12
			77,5 3,051	79,0 3,110					
			96,5 3,800	98,0 3,858					

TABLEAU VI (*suite*)

Origine } German Standard DIN 41 309
 Origin }
 Série SU Série U

TABLE VI (*continued*)

Unité d'origine mm
 Original unit

Type	A_{\max} mm in	B_{\max} mm in	D_{\min} mm in	D_{\max} mm in	E_{\min} mm in	E_{\max} mm in	F_{\min} mm in	G_{\min} mm in	R_{\max} mm in
U 1.1 1.2	30,0 1,181	52,7 2,075	9,5 0,374 15,5 0,610	10,1 0,398 16,1 0,634	9,1 0,358	9,9 0,390	10 0,394	32,5 1,280	1,5 0,06
U 2.1 2.2	39,1 1,539	67,9 2,673	12,5 0,492 19,5 0,768	13,4 0,528 20,4 0,803	12,1 0,476	12,9 0,508	13 0,512	41,5 1,634	1,5 0,06
U 3.1 3.2	48,0 1,890	82,9 3,264	15,5 0,610 24,5 0,965	16,5 0,650 25,5 1,004	14,9 0,587	15,8 0,622	16 0,630	50,5 1,988	1,5 0,06
U 4.1 4.2	60,1 2,366	103,6 4,079	19,5 0,768 29,5 1,161	20,6 0,811 30,6 1,205	18,9 0,744	19,8 0,780	20 0,787	63,0 2,480	2,0 0,08
U 5.1 5.2	75,0 2,953	128,6 5,063	25,0 0,984 40,0 1,575	26,1 1,028 41,1 1,618	23,7 0,933	24,7 0,972	25 0,984	78,0 3,071	2,0 0,08
U 6.1 6.2	90,0 3,543	155,8 6,134	29,5 1,161 49,5 1,949	30,9 1,217 50,9 2,004	28,5 1,122	29,6 1,165	30 1,181	95,0 3,740	3,0 0,12
U 7.1 7.2	102,4 4,031	175,4 6,906	34,0 1,339 55,0 2,165	35,4 1,394 56,4 2,220	32,5 1,280	33,7 1,327	34 1,339	106,0 4,173	3,0 0,12
U 8.1 8.2	114,4 4,504	195,6 7,701	37,5 1,476 61,5 2,421	39,2 1,543 63,2 2,488	36,3 1,429	37,6 1,480	38 1,496	118,0 4,646	3,0 0,12
U 9.1 9.2	132,1 5,201	225,4 8,874	43,5 1,713 69,5 2,736	45,2 1,780 71,2 2,803	42,0 1,654	43,4 1,709	44 1,732	136,0 5,354	3,0 0,12
U 10.1 10.2	150,2 5,913	255,6 10,063	49,5 1,949 74,5 2,933	51,2 2,016 76,2 3,000	47,9 1,886	49,4 1,945	50 1,969	154,0 6,063	3,0 0,12
U 11.1 11.2	168,3 6,626	286,0 11,260	55,0 2,165 89,0 3,504	57,0 2,244 91,0 3,583	53,7 2,114	55,3 2,177	56 2,205	172,0 6,772	3,0 0,12
U 12.1 12.2 12.3	181,3 7,138	307,2 12,094	60,0 2,362 75,0 2,953 90,0 3,543	62,0 2,441 77,0 3,031 92,0 3,622	57,9 2,280	59,7 2,350	60 2,362	184,0 7,244	3,0 0,12
U 13.1 13.2 13.3	211,2 8,315	357,2 14,063	69,5 2,736 99,5 3,917 129,5 5,098	71,7 2,823 101,7 4,004 131,7 5,185	67,6 2,661	69,6 2,740	70 2,756	214,0 8,425	3,0 0,12
U 14.1 14.2 14.3	242,2 9,535	406,2 15,992	79,5 3,130 106,5 4,193 136,5 5,374	81,7 3,217 108,7 4,280 138,7 5,461	77,6 3,055	79,6 3,134	80 3,150	243,0 9,567	3,0 0,12

TABLEAU VI (*suite*)

Origine } German Standard DIN 41 309
 Origin }
 Série SM
 Series

Série M
 Series

TABLE VI (*continued*)

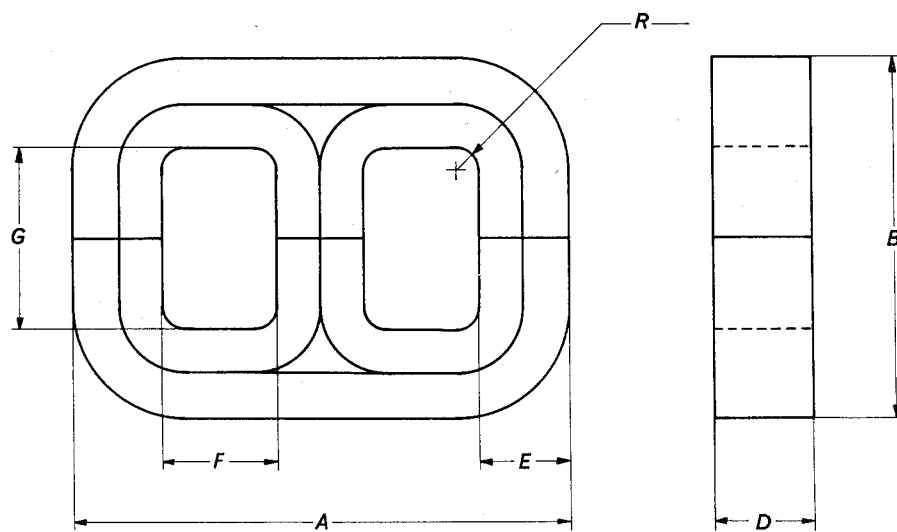
Unité d'origine mm
 Original unit

Type	A_{\max} mm in	B_{\max} mm in	D_{\min} mm in	D_{\max} mm in	E_{\min} mm in	E_{\max} mm in	F_{\min} mm in	G_{\min} mm in	R_{\max} mm in
M 1.1 1.2	14,3 0,563	28,6 1,126	6,5 0,256 10,5 0,413	7,0 0,276 11,0 0,433	3,0 0,118	3,5 0,138	7,0 0,276	21,0 0,827	1,0 0,039
M 2.1	21,8 0,858	43,6 1,717	14,5 0,571	15,2 0,598	5,2 0,205	6,0 0,236	9,5 0,374	31,0 1,220	1,5 0,059
M 3.1	28,4 1,118	56,3 2,217	20,0 0,787	20,8 0,819	7,7 0,303	8,5 0,335	11,0 0,433	38,5 1,516	1,5 0,059
M 4.1	33,2 1,307	65,6 2,583	26,2 1,031	27,0 1,063	9,0 0,354	9,9 0,390	13,0 0,512	45,0 1,772	1,5 0,059
M 5.1	37,7 1,484	74,6 2,937	31,5 1,240	32,5 1,280	10,5 0,413	11,4 0,449	14,5 0,571	51,0 2,008	1,5 0,059
M 6.1 6.2	43,2 1,701	85,6 3,370	31,5 1,240 44,5 1,752	32,5 1,280 45,5 1,791	13,4 0,528	14,4 0,567	14,0 0,551	56,0 2,205	2,0 0,079
M 7.1 7.2	51,9 2,043	103,0 4,055	34,5 1,358 51,5 2,028	35,5 1,398 52,5 2,067	15,9 0,626	16,9 0,665	17,5 0,689	68,0 2,677	2,0 0,079

TABLEAU VII

Listes des dimensions des circuits triphasés

TABLE VII

Dimensional lists of E-core loopsOrigine } France/UK
Origin }Série 3P
Series 3PUnité d'origine inch
Original unit

Type	A_{\max} mm in	B_{\max} mm in	D_{\min} mm in	D_{\max} mm in	E_{\min} mm in	E_{\max} mm in	F_{\min} mm in	G_{\min} mm in	R_{\max} mm in
3P 1.1			7,9 0,313	8,7 0,34					
1.2	53,0 2,087	45,0 1,771	12,7 0,500	13,5 0,53	8,0 0,315	8,8 0,346	13,0 0,512	25,0 0,984	1,6 0,063
1.3			15,9 0,625	16,7 0,66					
3P 2.1			9,5 0,375	10,3 0,41					
2.2			12,7 0,500	13,5 0,53					
2.3	65,0 2,560	56,0 2,205	15,9 0,625	16,7 0,66	10,0 0,394	10,8 0,425	16,0 0,630	32,0 1,260	1,6 0,063
2.4			19,0 0,750	19,8 0,78					
2.5			22,2 0,875	23,0 0,91					
3P 3.1			12,7 0,500	13,5 0,53					
3.2	79,5 3,130	67,5 2,657	15,9 0,625	16,7 0,66	12,7 0,500	13,5 0,531	19,0 0,750	38,1 1,500	1,6 0,063
3.3			19,0 0,750	19,8 0,78					

TABLEAU VII (*suite*)Origine } UK
Origin }Série 3Q
Series 3QTABLE VII (*continued*)Unité d'origine inch
Original unit

Type	A_{\max} mm in	B_{\max} mm in	D_{\min} mm in	D_{\max} mm in	E_{\min} mm in	E_{\max} mm in	F_{\min} mm in	G_{\min} mm in	R_{\max} mm in
3Q 1	79,5 3,130	67,5 2,657	25,4 1,000	26,2 1,031	12,7 0,500	13,5 0,531	19,0 0,750	38,1 1,50	1,6 0,063
2	92,0 3,622	79,6 3,134	25,4 1,000	26,2 1,031	15,6 0,615	16,6 0,653	20,6 0,813	44,4 1,75	1,6 0,063
3	95,2 3,748	86,2 3,394	28,6 1,125	29,4 1,156	15,6 0,615	16,6 0,653	22,2 0,875	50,8 2,00	1,6 0,063
4	111,1 4,375	99,0 3,898	31,7 1,250	32,5 1,281	18,8 0,740	19,8 0,779	25,4 1,000	57,2 2,25	3,2 0,125
5	127,0 5,000	111,8 4,402	31,7 1,250	32,5 1,281	22,0 0,865	23,0 0,905	28,6 1,125	63,5 2,50	3,2 0,125
6	148,4 5,844	130,8 5,150	31,7 1,250	32,5 1,281	25,1 0,990	26,1 1,027	34,9 1,375	76,2 3,00	3,2 0,125
7	174,2 6,858	156,6 6,165	31,7 1,250	32,5 1,281	31,5 1,240	32,5 1,279	38,1 1,500	88,9 3,50	3,2 0,125
8	206,0 8,109	175,9 6,926	38,1 1,500	38,9 1,531	37,8 1,490	39,0 1,535	44,4 1,750	95,3 3,75	3,2 0,125
9	222,2 8,750	195,3 7,688	41,3 1,625	42,1 1,656	41,0 1,615	42,2 1,661	47,6 1,875	108,0 4,25	3,2 0,125
10	254,7 10,031	221,5 8,719	47,6 1,875	48,4 1,906	47,4 1,865	48,9 1,925	54,0 2,125	120,7 4,75	3,2 0,125
11	286,8 11,292	241,3 9,500	54,0 2,125	55,6 2,188	53,7 2,115	55,2 2,173	60,3 2,375	127,0 5,00	3,2 0,125
12	326,1 12,840	268,2 10,560	60,3 2,375	61,9 2,438	60,1 2,365	61,8 2,434	69,9 2,750	140,0 5,50	3,2 0,125

TABLEAU VII (*suite*)

Origine } German Standard DIN 41309
 Origin }
 Série Series 3U

Type	A_{\max} mm in	B_{\max} mm in	D_{\min} mm in	D_{\max} mm in	E_{\min} mm in	E_{\max} mm in	F_{\min} mm in	G_{\min} mm in	R_{\max} mm in
3U 1.1 1.2	50,9 2,004	53,7 2,114	9,5 0,374 15,5 0,610	10,1 0,398 16,1 0,634	9,1 0,358	9,9 0,390	10 0,394	32,5 1,280	1,5 0,06
3U 2.1 2.2	66,0 2,598	68,9 2,713	12,5 0,492 19,5 0,768	13,4 0,528 20,4 0,803	12,1 0,476	12,9 0,508	13 0,512	41,5 1,634	1,5 0,06
3U 3.1 3.2	80,8 3,181	83,9 3,303	15,5 0,610 24,5 0,965	16,5 0,650 25,5 1,004	14,9 0,587	15,8 0,622	16 0,630	50,5 1,988	1,5 0,06
3U 4.1 4.2	100,9 3,972	104,6 4,118	19,5 0,768 29,5 1,161	20,6 0,811 30,6 1,205	18,9 0,744	19,8 0,780	20 0,787	63,0 2,480	2,0 0,08
3U 5.1 5.2	125,7 4,949	129,7 5,106	25,0 0,984 40,0 1,575	26,1 1,028 41,1 1,618	23,7 0,933	24,7 0,972	25 0,984	78,0 3,071	2,0 0,08
3U 6.1 6.2	150,6 5,929	156,8 6,173	29,5 1,161 49,5 1,949	30,9 1,217 50,9 2,004	28,5 1,122	29,6 1,165	30 1,181	95,0 3,740	3,0 0,12
3U 7.1 7.2	171,1 6,736	176,4 6,945	34,0 1,339 55,0 2,165	35,4 1,394 56,4 2,220	32,5 1,280	33,7 1,327	34 1,339	106,0 4,173	3,0 0,12
3U 8.1 8.2	191,0 7,520	196,2 7,724	37,5 1,476 61,5 2,421	39,2 1,543 63,2 2,488	36,3 1,429	37,6 1,480	38 1,496	118,0 4,646	3,0 0,12
3U 9.1 9.2	220,8 8,681	226,4 8,913	43,5 1,713 69,5 2,736	45,2 1,780 71,2 2,803	42,0 1,654	43,4 1,709	44 1,732	136,0 5,354	3,0 0,12
3U 10.1 ¹⁾ 10.2	249,6 9,827	255,6 10,063	49,5 1,949 74,5 2,933	51,2 2,016 76,2 3,000	47,9 1,886	49,4 1,945	50 1,969	154,0 6,063	3,0 0,12
3U 11.1 ¹⁾ 11.2	279,6 11,008	286,0 11,260	55,0 2,165 89,0 3,504	57,0 2,244 91,0 3,583	53,7 2,114	55,3 2,177	56 2,205	172,0 6,772	3,0 0,12
3U 12.1 ¹⁾ 12.2 12.3	301,0 11,850	307,2 12,094	60,0 2,362 75,0 2,953 90,0 3,543	62,0 2,441 77,0 3,031 92,0 3,622	57,9 2,280	59,7 2,350	60 2,362	184,0 7,244	3,0 0,12
3U 13.1 ¹⁾ 13.2 13.3	350,8 13,811	357,2 14,063	59,5 2,736 99,5 3,917 129,5 5,098	71,7 2,823 101,7 4,004 131,7 5,185	67,6 2,661	69,6 2,740	70 2,756	214,0 8,425	3,0 0,12
3U 14.1 14.2 14.3	400,8 15,780	406,2 15,992	79,5 3,130 106,5 4,193 135,5 5,374	81,7 3,217 108,7 4,280 138,7 5,461	77,6 3,055	79,6 3,134	80 3,150	243,0 9,567	3,0 0,12

¹⁾ Identique à la série 3R (types 3R 1.1 à 3R 4.3)¹⁾ Identical with 3R-Series (Type 3R 1.1 to 3R 4.3)

TABLEAU VIII

Masses, longueurs de la ligne de force, sections effectives et surfaces de fenêtre des circuits monophasés

Les valeurs de m_{Fe} et A_{Fe} sont données pour bandes de 0,05 mm. Pour les bandes de 0,025 mm, m_{Fe} et A_{Fe} se calculent en multipliant les valeurs contenues dans le tableau par 0,93:

TABLE VIII

Mass, flux path lengths, effective cross-sectional areas, and window areas of C-core loops

The values of m_{Fe} and A_{Fe} are given for 0.05 mm (0.002 in) strips. For 0.025 mm (0.001 in) strips, m_{Fe} and A_{Fe} are obtained by multiplying the values given in the Table by 0.93:

$$\left(0,93 = \frac{\alpha_{0,025}}{\alpha_{0,05}} \right)$$

Série P
Series

Type	m_{Fe} g	m_{Fe} lb	l_{Fl} cm	l_{Fl} in	A_{Fe} cm^2	A_{Fe} in^2	$A_o^{(1)}$ cm^2	$A_o^{(1)}$ in^2
P 1.1 1.2 1.3	0,77	0,0017	3,02	1,193	0,0334	0,00517	0,254	0,0391
	2,10	0,0045	3,53	1,389	0,0778	0,0120	0,254	0,0391
	4,37	0,0096	3,69	1,453	0,155	0,0240	0,326	0,0506
P 4.1 4.2	2,28	0,0050	3,85	1,515	0,0778	0,0120	0,398	0,0617
	4,56	0,0100	3,85	1,515	0,155	0,0240	0,398	0,0617
P 5.1	5,70	0,0126	4,80	1,890	0,155	0,0240	0,731	0,113

Fabriqués uniquement en bandes d'épaisseurs de 0,025 mm et 0,05 mm.

Available with 0.025 mm and 0.05 mm (0.001 in and 0.002 in) strips only.

¹⁾ A_o : surface de fenêtre $F_{min} \cdot G_{min}$.

¹⁾ A_o : window area $F_{min} \cdot G_{min}$.

TABLEAU VIII (*suite*)

Les valeurs de m_{Fe} et A_{Fe} sont données pour bandes de 0,28 mm et 0,35 mm. Pour les bandes de 0,1 mm, m_{Fe} et A_{Fe} se calculent en multipliant les valeurs contenues dans le tableau par 0,97:

$$\left(0,97 = \frac{\alpha_{0,1}}{\alpha_{0,28}} \right)$$

TABLE VIII (*continued*)

The values of m_{Fe} and A_{Fe} are given for 0.28 mm and 0.35 mm (0.011 in and 0.014 in) strips. For 0.1 mm (0.004 inch) strips, m_{Fe} and A_{Fe} are obtained by multiplying the values given in the Table by 0.97:

Série R
Series R

Type	m_{Fe} g	m_{Fe} lb	l_{Fl} cm	l_{Fl} in	A_{Fe} cm^2	A_{Fe} in^2	A_o ¹⁾ cm^2	A_o ¹⁾ in^2
R 1.1 1.2	1 117 1 429	2,46 3,15	25,9	10,20	5,64 7,21	0,874 1,117	21,9	3,40
R 2.1 2.2 2.3	1 631 2 040 2 454	3,60 4,50 5,40	29,7	11,69	7,18 8,98 10,80	1,113 1,392 1,674	29,0	4,50
R 3.1 3.2 3.3	2 920 3 424 3 955	6,38 7,55 8,72	34,7	13,66	10,9 12,9 14,9	1,69 2,00 2,32	40,0	6,20
R 4.1 4.2 4.3	4 529 5 579 6 826	9,98 12,30 15,06	42,9	16,89	13,8 17,0 20,8	2,14 2,64 3,22	55,3	8,56
R 5.1 5.2 5.3	6 871 8 665 10 765	15,16 19,10 23,73	49,9	19,65	18,0 22,7 28,2	2,79 3,52 4,38	75,3	11,67

¹⁾ A_o : surface de fenêtre $F_{\min} \cdot G_{\min}$.¹⁾ A_o : window area $F_{\min} \cdot G_{\min}$.

TABLEAU VIII (*suite*)

Les valeurs de m_{Fe} et A_{Fe} sont données pour bandes de 0,28 mm et 0,35 mm. Pour les bandes de 0,1 mm, m_{Fe} et A_{Fe} se calculent en multipliant les valeurs contenues dans le tableau par 0,97 ($0,97 = \alpha_{0,1}/\alpha_{0,28}$). Pour les bandes de 0,05 mm et 0,025 mm, les facteurs sont de 0,93 et 0,86.

TABLE VIII (*continued*)

The values of m_{Fe} and A_{Fe} are given for 0.28 mm and 0.35 mm (0.011 in and 0.014 in) strips. For 0.1 mm (0.004 in) strips, m_{Fe} and A_{Fe} are obtained by multiplying the values given in the table by 0.97 ($0.97 = \alpha_{0,1}/\alpha_{0,28}$). For the strips of 0.05 mm and 0.025 mm, the factors are 0.93 and 0.86 respectively.

Type	Série Q Series Q							
	m_{Fe}	A_{Fe}	$A_0^{(1)}$	l_{Fl}	A_{Fe}	$A_0^{(1)}$	m_{Fe}	A_{Fe}
g	lb	cm ²	in	cm ²	in ²	cm ²	in ²	cm ²
Q 1.1*	18,0	0,372	0,058	6,32	2,49	0,91		
1.2*	34,7	0,582	0,090	7,77	3,06	1,38		0,141
								0,215
Q 3.1	63,0	0,862	0,134	9,53	3,75	2,12		
4.1	73,5	0,862	0,134	11,13	4,38	3,18		0,328
								0,492
Q 5.1	94	0,96	0,149					
5.2	141	1,44	0,223					
5.3	187	1,92	0,297					
5.4	281	2,88	0,446					
Q 6.1	145	1,15	0,178					
6.2	218	1,72	0,267					
6.3	291	2,30	0,356					
6.4	363	2,87	0,445					
Q 7.1	239	1,72	0,267					
7.2	319	2,30	0,356					
7.3	398	2,87	0,445					
7.4	478	3,45	0,534					
Q 8.1	432	2,68	0,416					
8.2	553	3,45	0,534					
8.3	739	4,60	0,713					
8.4	989	6,13	0,950					
Q 9.1	567	2,87	0,445					
9.2	896	4,54	0,703					
9.3	1 138	5,75	0,891					
9.4	1 515	7,66	1,187					
Q 10.1	1 079							
10.2	1 619							
10.3	2 163							
10.4	2 966							
Q 11.1	2 363							
11.2	3 773							

*Fabriqués uniquement en bandes d'épaisseurs de 0,10 mm et plus minces. m_{Fe} et A_{Fe} sont données directement pour bandes de 0,10 mm.

Available with 0.10 mm (0.004 in) strips and smaller only. m_{Fe} and A_{Fe} are directly given for 0.10 mm strips.

¹⁾ A_0 : surface de fenêtre $F_{min} \cdot G_{min}$.

¹⁾ A_0 : window area $F_{min} \cdot G_{min}$.

TABLEAU VIII (*suite*)TABLE VIII (*continued*)Série U
Series U

Type	m_{Fe} g	m_{Fe} lb	cm	l_{fl} in	A_{Fe} cm^2	A_o cm^2
U 1.1 1.2	71,5 117	0,158 0,258	11,4	4,49	0,82 1,34	0,127 0,208
U 2.1 2.2	163 254	0,359 0,560	14,8	5,83	1,44 2,24	0,223 0,347
U 3.1 3.2	303 480	0,668 1,06	18,1	7,13	2,19 3,47	0,339 0,538
U 4.1 4.2	605 916	1,33 2,02	22,6	8,90	3,50 5,30	0,543 0,822
U 5.1 5.2	1210 1940	2,67 4,28	28,2	11,1	5,63 9,01	0,873 1,40
U 6.1 6.2	2080 3490	4,59 7,69	34,0	13,4	7,99 13,4	1,24 2,08
U 7.1 7.2	3080 4990	6,79 11,0	38,4	15,1	10,5 17,0	1,63 2,64
U 8.1 8.2	4230 6960	9,33 15,3	42,8	16,9	12,9 21,2	2,00 3,29
U 9.1 9.2	6590 10490	14,5 23,1	49,5	19,5	17,4 27,7	2,70 4,29
U 10.1 10.2	9670 14570	21,3 32,1	56,2	22,1	22,5 33,9	3,49 5,25
U 11.1 11.2	13540 21880	29,9 48,2	63,0	24,8	28,1 45,4	4,36 7,04
U 12.1 12.2 12.3	17070 21360 25600	37,6 47,1 56,4	67,6	26,6	33,0 41,3 49,5	5,12 6,40 7,67
U 13.1 13.2 13.3	26850 38470 50090	59,2 84,8 110,4	78,7	31,0	44,6 63,9 83,2	6,91 9,90 12,90
U 14.1 14.2 14.3	40300 54000 69200	88,8 119,0 152,6	89,8	35,4	58,6 78,5 101,0	9,08 12,2 15,7
						110
						150
						194
						30,1

TABLEAU VIII (*suite*)TABLE VIII (*continued*)Série M
Series M

Type	m_{Fe} g	m_{Fe} lb	cm	l_{Fl} in	A_{Fe} cm ²	A_{Fe} in ²	A_o cm ²	A_o in ²
M 1.1 1.2	9,1 14,7	0,020 0,032	6,6	2,60	0,18 0,29	0,0279 0,0450	1,47	0,228
M 2.1	54,1	0,119	9,8	3,86	0,72	0,112	2,94	0,456
M 3.1	138	0,304	12,4	4,88	1,46	0,226	4,24	0,657
M 4.1	250	0,551	14,6	5,75	2,24	0,347	5,85	0,907
M 5.1	396	0,873	16,5	6,50	3,14	0,487	7,4	1,15
M 6.1 6.2	561 792	1,24 1,75	18,3	7,20	4,01 5,66	0,622 0,877	7,84	1,22
M 7.1 7.2	885 1 320	1,97 2,91	22,2	8,74	5,21 7,78	0,808 1,21	11,9	1,84

TABLEAU IX (*suite*)

Les valeurs de m_{Fe} et A_{Fe} sont données pour bandes de 0,28 mm et 0,35 mm. Pour les bandes de 0,1 mm, m_{Fe} et A_{Fe} se calculent en multipliant les valeurs contenues dans le tableau par 0,97:

$$\left(0,97 = \frac{\alpha_{0,1}}{\alpha_{0,28}} \right)$$

Série 3U
Series

Type	m_{Fe} kg	m_{Fe} lb	A_{Fe} cm ²	A_{Fe} in ²	A_o cm ²	A_o in ²
3U 1.1	0,115	0,254	0,82	0,127	3,25	0,504
1.2	0,188	0,414	1,34	0,208		
3U 2.1	0,261	0,575	1,44	0,223	5,39	0,835
2.2	0,407	0,897	2,24	0,347		
3U 3.1	0,491	1,08	2,19	0,339	8,08	1,25
3.2	0,776	1,71	3,47	0,538		
3U 4.1	0,98	2,15	3,50	0,543	12,6	1,95
4.2	1,47	3,24	5,30	0,822		
3U 5.1	1,96	4,32	5,63	0,873	19,5	3,02
5.2	3,13	6,90	9,01	1,40		
3U 6.1	3,33	7,34	7,99	1,24	28,5	4,42
6.2	5,59	12,3	13,4	2,08		
3U 7.1	4,94	10,9	10,5	1,63	36,0	5,58
7.2	8,00	17,6	17,0	2,64		
3U 8.1	6,79	15,0	12,9	2,00	44,8	6,94
8.2	11,14	24,6	21,2	3,29		
3U 9.1	10,54	23,2	17,4	2,70	59,8	9,27
9.2	16,84	37,1	27,7	4,29		
3U 10.1 ¹⁾	15,5	34,2	22,5	3,49	77	11,9
10.2	23,4	51,6	33,9	5,25		
3U 11.1 ¹⁾	21,7	47,8	28,1	4,35	96	14,9
11.2	35,1	77,4	45,4	7,04		
3U 12.1 ¹⁾	27,4	60,4	33,0	5,12	110	17,0
12.2	34,2	75,4	41,3	6,40		
12.3	41,1	90,6	49,5	7,67		
3U 13.1 ¹⁾	43,1	95,0	44,6	6,91	150	23,3
13.2	61,7	136,0	63,9	9,90		
13.3	80,4	177,3	83,1	12,88		
3U 14.1	64,6	142,4	58,6	9,08	194	30,1
14.2	86,5	190,7	78,5	12,2		
14.3	111,0	244,7	101,0	15,7		

¹⁾ Identique à la série 3R (types 3R 1.1 à 3R 4.3)¹⁾ Identical with 3R-Series (Type 3R 1.1 to 3R 4.3)TABLE IX (*continued*)

The values of m_{Fe} and A_{Fe} are given for 0,28 mm and 0,35 mm (0,011 in and 0,014 in) strips. For 0,1 mm (0,004 in) strips, m_{Fe} and A_{Fe} are obtained by multiplying the values given in the table by 0,97:

TABLEAU X

Pertes maximales admissibles et puissances d'excitation des circuits monophasés

Maximum admissible power losses and apparent power of C-core loops

Série Q¹⁾
Series

Bandes de 0,28 mm et 0,35 mm essayées à 1,7 T; 50 Hz

0.28 mm and 0.35 mm (0.011 in and 0.014 in) strips tested at 1.7 T; 50 Hz

Type	U_2^+ mV/spire turn	P_L W	S VA
Q 3.1 4.1	32,6 32,6	0,14 0,16	1,8 1,9
Q 5.1 5.2 5.3 5.4	36,3 54,4 72,6 109,0	0,21 0,31 0,41 0,62	2,3 3,4 4,5 6,8
Q 6.1 6.2 6.3 6.4	43,5 65,0 87,0 108,0	0,32 0,48 0,64 0,80	3,1 4,7 6,3 7,9
Q 7.1 7.2 7.3 7.4	65 87 108 130	0,53 0,70 0,88 1,05	5,0 6,7 8,3 10,0
Q 8.1 8.2 8.3 8.4	101 130 174 232	0,95 1,22 1,63 2,18	8,6 11,0 14,7 19,6
Q 9.1 9.2 9.3 9.4	108 172 217 290	1,25 1,98 2,50 3,33	10,5 16,7 21,1 28,2
Q 10.1 10.2 10.3 10.4	174 260 349 478	2,37 3,56 4,76 6,53	19,1 28,7 38,4 52,7
Q 11.1 11.2	290 463	5,20 8,30	39,4 62,8

Bandes de 0,10 mm essayées à 1,5 T; 400 Hz

0.10 mm (0.004 in) strips tested at 1.5 T; 400 Hz

Type	U_2^+ mV/spire turn	P_L W	S VA
Q 1.1 2.1 3.1 4.1	99 155 223 223	0,40 0,76 1,34 1,57	3,0 4,9 7,3 7,6
Q 5.1 5.2 5.3 5.4	249 373 497 745	2,01 3,01 3,99 6,00	8,8 13,2 17,5 26,3
Q 6.1 6.2 6.3 6.4	298 445 595 742	3,09 4,65 6,21 7,75	11,4 17,2 22,9 28,6
Q 7.1 7.2 7.3 7.4	445 595 742 893	5,10 6,81 8,50 10,2	17,8 23,8 29,6 35,6
Q 8.1 8.2 8.3 8.4	693 893 1 190 1 586	9,2 11,8 15,8 21,1	29,5 37,8 50,5 67,4
Q 9.1 9.2 9.3 9.4	742 1 174 1 488 1 982	12,1 19,2 24,3 32,3	34,7 54,9 69,5 92,6
Q 10.1 10.2 10.3 10.4	1 190 1 785 2 388 3 273	23,0 34,5 46,2 63,3	60,7 90,9 122,0 167,0
Q 11.1 11.2	1 987 3 172	50,4 80,5	119,0 189,0

¹⁾ Voir la note à la page 53.

¹⁾ See note on page 53.

TABLEAU X (*suite*)TABLE X (*continued*)Série R
Series R*Bandes de 0,28 mm et 0,35 mm essayées à 1,7 T; 50 Hz**0.28 mm and 0.35 mm (0.011 in and 0.014 in) strips tested at 1.7 T; 50 Hz*

Type	U_2^+ mV/spire turn	P_L W	S VA
R 1.1 1.2	213	2,46	20,7
	273	3,14	26,6
R 2.1 2.2 2.3	271	3,59	29,2
	339	4,49	36,5
	408	5,40	43,8
R 3.1 3.2 3.3	416	6,42	50,2
	488	7,53	59,0
	563	8,70	68,0
R 4.1 4.2 4.3	522	10,0	74,5
	643	12,3	91,8
	786	15,0	112,2
R 5.1 5.2 5.3	680	15,1	109,8
	858	19,1	138,8
	1 066	23,7	172,0

*Bandes de 0,10 mm essayées à 1,5 T; 400 Hz**0.10 mm (0.004 in) strips tested at 1.5 T; 400 Hz*

Type	U_2^+ mV/spire turn	P_L W	S VA
R 1.1 1.2	1 459	23,8	68,3
	1 865	30,5	87,4
R 2.1 2.2 2.3	1 857	34,8	93,3
	2 323	43,5	117
	2 794	52,4	140
R 3.1 3.2 3.3	2 846	62,3	156
	3 337	73,1	183
	3 854	84,4	211
R 4.1 4.2 4.3	3 570	96,6	222
	4 398	119,1	274
	5 381	145,7	335
R 5.1 5.2 5.3	4 657	147	320
	5 872	185	403
	7 295	230	501

Note. — Les pertes maximales admissibles et puissances d'excitation des circuits monophasés ne sont pas données pour la série P, puisque ces circuits sont uniquement fabriqués de matériau d'une épaisseur de 0,025 mm et 0,05 mm, et puisque ces circuits sont utilisés principalement pour les applications d'impulsions.

Note. — The maximum admissible power losses and apparent powers of C-core loops are not given for series P because these cores are available only in 0.025 mm (0.001 in) and 0.05 mm (0.002 in) material and are used mainly in pulse application.

TABLEAU IX

Masses, sections effectives et surfaces de fenêtre des circuits triphasés

Les valeurs de m_{Fe} et A_{Fe} sont données pour bandes de 0,28 mm et 0,35 mm. Pour les bandes de 0,1 mm, m_{Fe} et A_{Fe} se calculent en multipliant les valeurs contenues dans le tableau par 0,97:

$$\left(0,97 = \frac{\alpha_{0,1}}{\alpha_{0,28}} \right)$$

Série 3P
Series

Type	m_{Fe} kg	m_{Fe} lb	A_{Fe} cm ²	A_{Fe} in ²	$A_o^{(1)}$ cm ²	$A_o^{(1)}$ in ²
3P 1.1	0,078	0,171	0,60	0,0931	3,25	0,504
1.2	0,125	0,276	0,96	0,150		
1.3	0,156	0,344	1,21	0,187		
3P 2.1	0,146	0,323	0,90	0,140	5,12	0,794
2.2	0,196	0,432	1,21	0,187		
2.3	0,245	0,540	1,51	0,234		
2.4	0,293	0,646	1,80	0,280		
2.5	0,342	0,755	2,11	0,327		
3P 3.1	0,300	0,661	1,53	0,237	7,25	1,125
3.2	0,376	0,828	1,92	0,297		
3.3	0,450	0,992	2,29	0,356		

Les valeurs de m_{Fe} et A_{Fe} sont données pour bandes de 0,28 mm et 0,35 mm. Pour les bandes de 0,1 mm, m_{Fe} et A_{Fe} se calculent en multipliant les valeurs contenues dans le tableau par 0,97:

$$\left(0,97 = \frac{\alpha_{0,1}}{\alpha_{0,28}} \right)$$

Série 3Q
Series

Type	m_{Fe} kg	m_{Fe} lb	A_{Fe} cm ²	A_{Fe} in ²	$A_o^{(1)}$ cm ²	$A_o^{(1)}$ in ²
3Q 1	0,60	1,32	3,06	0,475	7,25	1,12
2	0,85	1,88	3,77	0,584	9,18	1,42
3	1,04	2,30	4,24	0,657	11,3	1,75
4	1,59	3,50	5,67	0,879	14,5	2,25
5	2,10	4,62	6,65	1,03	18,1	2,81
6	2,86	6,30	7,60	1,18	26,6	4,13
7	4,17	9,19	9,50	1,47	33,9	5,25
8	6,80	15,0	13,7	2,12	42,4	6,56
9	8,81	19,4	16,1	2,49	51,5	7,97
10	13,3	29,4	21,4	3,32	65,1	10,10
11	18,8	41,4	27,6	4,27	76,6	11,88
12	26,4	58,1	34,4	5,34	97,6	15,13

¹⁾ A_o : surface d'une fenêtre $F_{min} \cdot G_{min}$.

¹⁾ A_o : area of one window $F_{min} \cdot G_{min}$.

TABLE IX

Mass, cross-sectional areas and window areas of E-core loops

The values of m_{Fe} and A_{Fe} are given for 0.28 mm and 0.35 mm (0.011 in and 0.014 in) strips. For 0.1 mm (0.004 in) strips, m_{Fe} and A_{Fe} are obtained by multiplying the values given in the table by 0.97:

TABLEAU X (suite)

Perthes maximales admissibles et puissances d'excitation des circuits monophasés

Série U
Series

Bandes de 0,28 mm et 0,35 mm essayées à 1,7 T; 50 Hz

0.28 mm and 0.35 mm (0.011 in and 0.014 in) strips tested at 1.7 T; 50 Hz

Type	U_2^+ mV/spire turn	P_L W	S VA
U 1.1	31,0	0,16	1,82
1.2	50,6	0,26	2,98
U 2.1	54,4	0,35	3,69
2.2	84,6	0,56	5,76
U 3.1	82,7	0,67	6,34
3.2	131	1,06	10,0
U 4.1	132	1,33	11,7
4.2	200	2,02	17,8
U 5.1	213	2,67	22,1
5.2	340	4,28	35,3
U 6.1	302	4,57	36,0
6.2	506	7,67	60,3
U 7.1	397	6,78	51,9
7.2	642	11,0	84,0
U 8.1	487	9,31	69,7
8.2	601	15,3	114
U 9.1	657	14,5	105
9.2	1050	23,1	168
U 10.1	850	21,3	152
10.2	1230	32,1	228
U 11.1	1060	29,8	209
11.2	1720	48,1	337
U 12.1	1250	37,5	260
12.2	1500	47,0	326
12.3	1870	56,3	390
U 13.1	1680	59,1	402
13.2	2410	84,6	576
13.3	3120	110,0	749
U 14.1	2210	88,7	594
14.2	2970	119	796
14.3	3820	152	1020

TABLE X (continued)

Maximum admissible power losses and apparent power of C-core loops

Bandes de 0,10 mm essayées à 1,5 T; 400 Hz

0.10 mm (0.004 in) strips tested at 1.5 T; 400 Hz

Type	U_2^+ mV/spire turn	P_L W	S VA
U 1.1	212	1,54	7,27
1.2	347	2,50	11,9
U 2.1	372	3,46	13,8
2.2	579	5,40	21,5
U 3.1	566	6,47	22,6
3.2	897	10,3	35,9
U 4.1	905	13,0	39,9
4.2	1370	19,6	50,3
U 5.1	1450	25,8	70,8
5.2	2330	41,4	114,0
U 6.1	2070	44,4	112
6.2	3470	74,5	133
U 7.1	2720	65,7	158
7.2	4400	106	255
U 8.1	3340	90,3	208
8.2	5480	149	343
U 9.1	4500	141	308
9.2	7160	224	490
U 10.1	5820	206	434
10.2	8770	311	654
U 11.1	7270	288	587
11.2	11700	467	950
U 12.1	8530	364	727
12.2	10700	456	910
12.3	12800	546	1090
U 13.1	11500	573	1100
13.2	16500	821	1580
13.3	21500	1069	2060
U 14.1	15200	860	1610
14.2	20300	1150	2160
14.3	26100	1480	2770

TABLEAU X (suite)

Pertes maximales admissibles et puissances d'excitation des circuits monophasés

Type	U_2^+ mV/spire turn	P_L W	S VA
M 1.1 1.2	6,8 11,0	0,020 0,032	0,32 0,51
M 2.1	27,2	0,12	1,49
M 3.1	55,1	0,30	3,38
M 4.1	85,0	0,55	5,70
M 5.1	118	0,87	8,59
M 6.1 6.2	151 213	1,23 1,74	11,7 16,5
M 7.1 7.2	196 294	1,95 2,91	17,3 25,8

TABLE X (continued)

Maximum admissible power losses and apparent power of C-core loops

Série M
Series M

Bandes de 0,28 mm et 0,35 mm essayées à 1,7 T; 50 Hz

0.28 mm and 0.35 mm (0.011 in and 0.014 in) strips tested at 1.7 T; 50 Hz

Bandes de 0,10 mm essayées à 1,5 T; 400 Hz

0.10 mm (0.004 in) strips tested at 1.5 T; 400 Hz

Type	U_2^+ mV/spire turn	P_L W	S VA
M 1.1 1.2	47 75	0,19 0,31	1,41 2,28
M 2.1	186	1,15	6,14
M 3.1	378	2,94	13,2
M 4.1	579	5,34	21,4
M 5.1	812	8,45	31,3
M 6.1 6.2	1040 1460	12,0 16,9	41,6 58,7
M 7.1 7.2	1350 2010	18,9 28,2	58,7 87,5

TABLEAU XI

Pertes maximales admissibles et puissances d'excitation des circuits triphasés

Série 3P
Series

Bandes de 0,28 mm et 0,35 mm essayées à 1,5 T; 50 Hz

0.28 mm and 0.35 mm (0.011 in and 0.014 in) strips tested at 1.5 T; 50 Hz

Type	U_2^+ mV/spire turn	P_L W	S VA
3P 1.1	20,0	0,163	1,19
	32,0	0,263	1,90
	40,3	0,328	2,38
3P 2.1	30,0	0,307	1,94
	40,3	0,412	2,61
	50,3	0,515	3,26
	60,0	0,615	3,90
	70,3	0,720	4,55
3P 3.1	51,0	0,630	3,60
	64,0	0,790	4,51
	76,3	0,945	5,40

Maximum admissible power losses and apparent power of E-core loops

Bandes de 0,10 mm essayées à 1,3 T; 400 Hz

0.10 mm (0.004 in) strips tested at 1.3 T; 400 Hz

Type	U_2^+ mV/spire turn	P_L W	S VA
3P 1.1	134	1,50	6,45
	215	2,42	10,4
	271	3,02	13,0
3P 2.1	202	2,84	10,6
	271	3,80	14,2
	338	4,75	17,7
	403	5,68	21,2
	472	6,64	24,8
3P 3.1	343	5,81	19,4
	430	7,28	24,3
	513	8,72	29,1

Série 3Q
Series

Bandes de 0,28 mm et 0,35 mm essayées à 1,5 T; 50 Hz

0.28 mm and 0.35 mm (0.011 in and 0.014 in) strips tested at 1.5 T; 50 Hz

Type	U_2^+ mV/spire turn	P_L W	S VA
3Q 1	104	1,26	7,2
	125,5	1,79	9,5
	141,2	2,19	11,1
	189,0	3,33	16,1
	221,3	4,40	20,1
	253,0	6,00	25,5
	316,3	8,75	35,3
	456,1	14,3	55,4
	536	18,5	69,6
	713	28,0	102
	918	39,4	141
	1 146	55,4	192

Bandes de 0,10 mm essayées à 1,3 T; 400 Hz

0.10 mm (0.004 in) strips tested at 1.3 T; 400 Hz

Type	U_2^+ mV/spire turn	P_L W	S VA
3Q 1	685	11,7	39,0
	844	16,5	51,2
	950	20,2	60,1
	1 270	30,8	86,2
	1 490	40,6	108
	1 700	55,4	137
	2 125	80,7	189
	3 065	132	297
	3 600	171	367
	4 790	258	546
	6 180	364	755
	7 700	511	1 030

TABLEAU XI (suite)

Pertes maximales admissibles et puissances d'excitation des circuits triphasés

Série 3U
Series 3U

Bandes de 0,28 mm et 0,35 mm essayées à 1,5 T; 50 Hz

0.28 mm and 0.35 mm (0.011 in and 0.014 in) strips tested at 1.5 T; 50 Hz

Type	U_2^+ mV/spire turn	P_L W	S VA
3U 1.1	27,3	0,24	1,67
1.2	44,7	0,40	2,73
3U 2.1	47,6	0,55	3,25
2.2	74,6	0,86	5,07
3U 3.1	73,3	1,03	5,50
3.2	116	1,63	8,69
3U 4.1	117	2,05	9,85
4.2	177	3,09	14,8
3U 5.1	188	4,11	18,1
5.2	300	6,57	28,8
3U 6.1	266	6,99	28,7
6.2	447	11,7	48,1
3U 7.1	350	10,4	40,8
7.2	566	16,8	66,1
3U 8.1	430	14,3	54,3
8.2	703	23,4	89,1
3U 9.1	580	22,1	81,0
9.2	923	35,4	129,0
3U 10.1 ¹⁾	750	32,6	116
10.2	1 130	49,1	174
3U 11.1 ¹⁾	937	45,6	157
11.2	1 514	73,5	255
3U 12.1 ¹⁾	1 100	57,5	196
12.2	1 380	71,8	245
12.3	1 650	86,1	294
3U 13.1 ¹⁾	1 487	90,5	299
13.2	2 130	130	428
13.3	2 775	169	557
3U 14.1	1 950	135	438
14.2	2 615	182	587
14.3	3 350	233	753

¹⁾ Identique à la série 3R (types 3R 1.1 à 3R 4.3)

TABLE XI (continued)

Maximum admissible power losses and apparent power of E-core loops

Bandes de 0,10 mm essayées à 1,3 T; 400 Hz

0.10 mm (0.004 in) strips tested at 1.3 T; 400 Hz

Type	U_2^+ mV/spire turn	P_L W	S VA
3U 1.1	184	2,23	9,11
1.2	300	3,65	14,9
3U 2.1	320	5,04	17,6
2.2	502	9,12	29,4
3U 3.1	493	9,51	29,7
3.2	784	15,1	47,2
3U 4.1	784	19,0	54,0
4.2	1 190	28,5	79,9
3U 5.1	1 260	38,0	99,5
5.2	2 020	60,7	159
3U 6.1	1 790	64,6	154
6.2	3 000	108	258
3U 7.1	2 350	95,8	219
7.2	3 810	155	355
3U 8.1	2 890	132	292
8.2	4 750	215	477
3U 9.1	3 900	204	434
9.2	6 210	326	693
3U 10.1 ¹⁾	5 040	302	618
10.2	7 600	453	936
3U 11.1 ¹⁾	6 300	421	846
11.2	10 200	681	1 370
3U 12.1 ¹⁾	7 400	531	1 053
12.2	9 250	663	1 315
12.3	11 100	960	1 580
3U 13.1 ¹⁾	10 000	835	1 610
13.2	14 310	1 200	2 300
13.3	18 650	1 560	3 000
3U 14.1	13 100	1 250	2 360
14.2	17 600	1 680	3 160
14.3	22 500	2 150	4 050

¹⁾ Identical with 3R-Series (Type 3R 1.1 to 3R 4.3)

ANNEXE A

APPENDIX A

LISTE DES ESSAIS POUR LES CIRCUITS
MAGNÉTIQUES COUPÉSLIST OF TESTS FOR STRIP-WOUND
CUT CORES

Article ou paragraphe	Essai
10	Examen visuel
11	Dimensions
12.1	Froid
12.2	Huile chaude
12.3	Variation de température
12.4	Résistance au cerclage (pour applications spéciales seulement)
13.1.2	Pertes totales
13.1.3	Puissance d'excitation

Clause or Sub-clause	Test
10	Visual examination
11	Dimensions
12.1	Cold
12.2	Hot oil
12.3	Temperature cycling
12.4	Rigidity (for special applications only)
13.1.2	Power loss
13.1.3	Apparent power

ANNEXE B

APPENDIX B

**LISTES COMPARATIVES
DES RÉFÉRENCES DE TYPE UTILISÉES
DANS DIFFÉRENTS PAYS**

**COMPARATIVE LISTS OF THE
REFERENCE NUMBERS UTILIZED
IN DIFFERENT COUNTRIES**

CEI IEC	France	Etats-Unis d'Amérique U.S.A
P		
1.1	BA 3	M 14 51
2.1	BB 3	M 14 52
3.1	BC 6	M 14 54
4.1	BD 3	M 14 53
4.2	BD 6	M 14 55
5.1	BH 6	M 3

CEI IEC	Royaume-Uni U.K.	Allemagne Germany	France
Q	DEF 5193 HWR	DIN 41309 SG	CCTU 06-01 B FA (Tabl. 2)
1.1*	3/4*	27/6*	D 06*
2.1*	4/5*	33/7*	F 08*
3.1	5/6	41/9	H 10
4.1	7/6	48/9	J 10
5.1	10/8	54/13	Q 13
5.2	10/12	54/19	Q 19
5.3	10/16	54/25	Q 25
5.4	10/24	54/38	Q 38
6.1	30/8	70/13	T 13
6.2	30/12	70/19	T 19
6.3	30/16	70/25	T 25
6.4	30/20	70/32	T 32
7.1	40/12	76/19	U 19
7.2	40/16	76/25	U 25
7.3	40/20	76/32	U 32
7.4	40/24	76/38	U 38
8.1	50/14	89/22	V 22
8.2	50/18	89/29	V 29
8.3	50/24	89/38	V 38
8.4	50/32	89/51	V 51
9.1	70/12	108/19	X 19
9.2	70/18	108/29	X 29
9.3	70/24	108/38	X 38
9.4	70/32	108/51	X 51
10.1	90/16	127/25	Z 25
10.2	90/24	127/38	Z 38
10.3	90/32	127/51	Z 51
10.4	90/44	127/70	Z 70
11.1	110/20	165/32	AD 32
11.2	110/32	165/51	AD 51

* Fabriqués uniquement en bandes de 0,1 mm et plus minces.

* Available with 0.1 mm and thinner strips only.

CEI IEC	Allemagne Germany
R	DIN 41309 SE
1.1	130 a
1.2	130 b
2.1	150 a
2.2	150 b
2.3	150 c
3.1	170 a
3.2	170 b
3.3	170 c
4.1	195 a
4.2	195 b
4.3	195 c
5.1	231 a
5.2	231 b
5.3	231 c

CEI IEC	Allemagne Germany
U	DIN 41309 SU
1.1	30 a
1.2	30 b
2.1	39 a
2.2	39 b
3.1	48 a
3.2	48 b
4.1	60 a
4.2	60 b
5.1	75 a
5.2	75 b
6.1	90 a
6.2	90 b
7.1	102 a
7.2	102 b
8.1	114 a
8.2	114 b
9.1	132 a
9.2	132 b
10.1	150 a
10.2	150 b
11.1	168 a
11.2	168 b
12.1	180 a
12.2	180 b
12.3	180 c
13.1	210 a
13.2	210 b
13.3	210 c
14.1	240 a
14.2	240 b
14.3	240 c

CEI IEC	Allemagne Germany
M	DIN 41309 SM
1.1 1.2	30 a 30 b
2.1 3.1 4.1 5.1	42 55 65 74
6.1 6.2	85 a 85 b
7.1 7.2	102 a 102 b

CEI IEC	France
3P	NF C 93-325 FA-FL
1.1	EA 8
1.2	EA 13
1.3	EA 16
2.1	EB 10
2.2	EB 13
2.3	EB 16
2.4	EB 19
2.5	EB 22
3.1	EC 13
3.2	EC 16
3.3	EC 19

CEI IEC	France
3Q	NF C 93-325 FA-FL
1	EC 25
2	ED 25
3	EF 29
4	EH 32
5	EK 32
6	EM 32
7	EP 32
8	ER 38
9	ET 41
10	EV 48
11	EX 54
12	EC 60

CEI IEC	Allemagne Germany
3U	DIN 41309 S 3U
1.1 1.2	30 a 30 b
2.1 2.2	39 a 39 b
3.1 3.2	48 a 48 b
4.1 4.2	60 a 60 b
5.1 5.2	75 a 75 b
6.1 6.2	90 a 90 b
7.1 7.2	102 a 102 b
8.1 8.2	114 a 114 b
9.1 9.2	132 a 132 b
10.1 10.2	150 a 150 b
11.1 11.2	168 a 168 b
12.1 12.2 12.3	180 a 180 b 180 c
13.1 13.2 13.3	210 a 210 b 210 c
14.1 14.2 14.3	240 a 240 b 240 c

ANNEXE C

SYSTÈME GÉNÉRAL DE TOLÉRANCES DIMENSIONNELLES

1. Généralités

Pour la construction de types spéciaux ou de séries nouvelles de circuits coupés, il est recommandé de calculer les tolérances dimensionnelles à partir des formules indiquées ci-dessous et avec les valeurs données dans l'article 3 de cette annexe.

2. Formules générales

2.1 Circuits monophasés

$$\begin{aligned} D_{\max} &= D_{\min} + \Delta_D \\ E_{\max} &= E_{\min} + \Delta_E \\ A_{\max} &= F_{\min} + 2E_{\min} + \Delta_A \\ B_{\max} &= G_{\min} + 2E_{\min} + \Delta_B \end{aligned}$$

Les tolérances sur A et B se composent de deux fois la tolérance sur E ($2 \Delta_E$) et de la tolérance de cintrage δ_A ou δ_B :

$$\Delta_{A, B} = 2\Delta_E + \delta_{A, B}$$

2.2 Circuits triphasés

$$\begin{aligned} A_{\max} &= 2F_{\min} + 3E_{\min} + \Delta_{3A} \\ \Delta_{3A} &= 3\Delta_E + \delta_{3A} \end{aligned}$$

Les tolérances sur les autres dimensions se calculent avec les formules pour les circuits monophasés.

APPENDIX C

STANDARD SYSTEM OF DIMENSIONAL TOLERANCES

1. General

When designing special sizes or new series of strip-wound cut cores, the dimensional tolerances should be calculated from the formulae given below and using the values given in Clause 3 of this appendix.

2. General formulae

2.1 *C-cores*

$$\begin{aligned}D_{\max} &= D_{\min} + \Delta_D \\E_{\max} &= E_{\min} + \Delta_E \\A_{\max} &= F_{\min} + 2E_{\min} + \Delta_A \\B_{\max} &= G_{\min} + 2E_{\min} + \Delta_B\end{aligned}$$

The tolerances on *A* and *B* are composed of twice the tolerance on *E* ($2 \Delta_E$) and a bowing tolerance δ_A or δ_B respectively:

$$\Delta_{A, B} = 2\Delta_E + \delta_{A, B}$$

2.2 *E-cores*

$$\begin{aligned}A_{\max} &= 2F_{\min} + 3E_{\min} + \Delta_{3A} \\&\Delta_{3A} = 3\Delta_E + \delta_{3A}\end{aligned}$$

For the other dimensions, the formulae for C-cores are applicable.

3. Tableaux de tolérances

3.1 Circuits monophasés

3. Tolerance tables

3.1 C-cores

Tolérances sur Tolerances on	Dimensions mm		Dimensions in	
	Domaine dimensionnel Dimensional range	Δ	Domaine dimensionnel Dimensional range	Δ
1	2	3	4	5
<i>D</i>	$D \leq 30$	0,8	$D \leq 1,18$	0,0315
	$30 < D \leq 70$	1,2	$1,18 < D \leq 2,76$	0,0472
	$70 < D$	1,6	$2,76 < D$	0,063
	$E > 63,5$	2,4	$E > 2,50$	0,096
<i>E</i>	$E \leq 10^{1)}$	0,5 ¹⁾	$E \leq 0,39^{1)}$	0,0197 ¹⁾
	$E \leq 20$	0,8	$E \leq 0,79$	0,0315
	$20 < E \leq 30$	1,2	$0,79 < E \leq 1,18$	0,0472
	$30 < E \leq 50$	1,6	$1,18 < E \leq 1,97$	0,063
<i>A</i>	$B \leq 100$	$2\Delta_E + 0,5$	$B \leq 3,94$	$2\Delta_E + 0,0197$
	$100 < B \leq 200$	$2\Delta_E + 1,0$	$3,94 < B \leq 7,88$	$2\Delta_E + 0,039$
	$200 < B \leq 300$	$2\Delta_E + 1,5$	$7,88 < B \leq 11,81$	$2\Delta_E + 0,059$
<i>B</i>	$B \leq 100$	$2\Delta_E + 1,0$	$B \leq 3,94$	$2\Delta_E + 0,039$
	$100 < B \leq 200$	$2\Delta_E + 2,5$	$3,94 < B \leq 7,88$	$2\Delta_E + 0,098$
	$200 < B \leq 300$	$2\Delta_E + 5,0$	$7,88 < B \leq 11,81$	$2\Delta_E + 0,197$
R_{max}	$B \leq 70$	1,5	$B \leq 2,76$	0,059
	$70 < B \leq 200$	3,0	$2,76 < B \leq 7,88$	0,118
	$200 < B \leq 300$	4,0	$7,88 < B \leq 11,81$	0,158

Note. – Dans les colonnes 2 et 4 de ce tableau:

- D est égal à D_{min}
- E est égal à E_{min}
- B est égal à $G_{min} + 2 E_{min}$.

Note. – In columns 2 and 4 of this table:

- D equals D_{min}
- E equals E_{min}
- B equals $G_{min} + 2 E_{min}$.

¹⁾ Seulement pour des circuits en bandes de 0,025 mm à 0,1 mm.

¹⁾ For cores of 0.025 mm to 0.1 mm (0.001 in to 0.004 in) strips only.

3.2 Circuits triphasés

3.2 E-core loops

Tolérances sur Tolerances on	Dimensions mm		Dimensions in	
	Domaine dimensionnel Dimensional range	Δ	Domaine dimensionnel Dimensional range	Δ
1	2	3	4	5
D	$D \leq 30$	1,0	$D \leq 1,18$	0,039
	$30 < D \leq 70$	1,5	$1,18 < D \leq 2,76$	0,059
	$70 < D$	2,0	$2,76 < D$	0,079
	$E > 63,5$	4,0	$E > 2,50$	0,156
E	$E \leq 10^1)$	0,8 ¹⁾	$E \leq 0,39^1)$	0,315 ¹⁾
	$E \leq 20$	1,0	$E \leq 0,79$	0,039
	$20 < E \leq 30$	1,5	$0,79 < E \leq 1,18$	0,059
	$30 < E \leq 60$	2,0	$1,18 < E \leq 2,36$	0,079
A	$B \leq 100$	$3\Delta_E + 1,0$	$B \leq 3,94$	$3\Delta_E + 0,039$
	$100 < B \leq 200$	$3\Delta_E + 1,5$	$3,94 < B \leq 7,88$	$3\Delta_E + 0,059$
	$200 < B \leq 400$	$3\Delta_E + 2,0$	$7,88 < B \leq 15,76$	$3\Delta_E + 0,079$
B	$B \leq 100$	$2\Delta_E + 2,0$	$B \leq 3,94$	$2\Delta_E + 0,079$
	$100 < B \leq 200$	$2\Delta_E + 3,0$	$3,94 < B \leq 7,88$	$2\Delta_E + 0,118$
	$200 < B \leq 400$	$2\Delta_E + 4,0$	$7,88 < B \leq 15,76$	$2\Delta_E + 0,158$

Note. – Dans les colonnes 2 et 4 de ce tableau:

D est égal à D_{min}

E est égal à E_{min}

B est égal à $G_{min} + 2E_{min}$.

Note. – In columns 2 and 4 of this table:

D equals D_{min}

E equals E_{min}

B equals $G_{min} + 2E_{min}$.

¹⁾ Seulement pour des circuits en bandes de 0,1 mm.

¹⁾ For cores of 0.1 mm (0.004 in) strips only.

LICENSED TO MECON Limited. - RANCHI/BANGALORE
FOR INTERNAL USE AT THIS LOCATION ONLY, SUPPLIED BY BOOK SUPPLY BUREAU.

LICENSED TO MECON Limited. - RANCHI/BANGALORE
FOR INTERNAL USE AT THIS LOCATION ONLY, SUPPLIED BY BOOK SUPPLY BUREAU.

ICS 29.100.10 ; 29.180
